

**UNIVERSIDADE DE SOROCABA  
PRÓ-REITORIA ACADÊMICA  
PROGRAMA DE PÓS-GRADUAÇÃO EM CIÊNCIAS FARMACÊUTICAS**

**Sara Rosicler Vieira Spim**

**EFEITOS DA INGESTÃO DE *Lentinula edodes* (SHIITAKE) SOBRE  
PARÂMETROS BIOQUÍMICOS, HEMATOLÓGICOS E DE ESTRESSE OXIDATIVO  
EM RATOS ALIMENTADOS COM DIETA HIPERLIPÍDICA**

**Sorocaba/SP  
2016**

**Sara Rosicler Vieira Spim**

**EFEITOS DA INGESTÃO DE *Lentinula edodes* (SHIITAKE) SOBRE  
PARÂMETROS BIOQUÍMICOS, HEMATOLÓGICOS E DE ESTRESSE OXIDATIVO  
EM RATOS ALIMENTADOS COM DIETA HIPERLIPÍDICA**

Dissertação apresentada à Banca Examinadora do Programa de Pós-Graduação em Ciências Farmacêuticas da Universidade de Sorocaba, como exigência parcial para obtenção do título de Mestre em Ciências Farmacêuticas.

Orientadora: Prof<sup>a</sup>. Dr<sup>a</sup>. Denise Grotto

**Sorocaba/SP**

**2016**

**Sara Rosicler Vieira Spim**

**EFEITOS DA INGESTÃO DE *Lentinula edodes* (SHIITAKE) SOBRE  
PARÂMETROS BIOQUÍMICOS, HEMATOLÓGICOS E DE ESTRESSE OXIDATIVO  
EM RATOS ALIMENTADOS COM DIETA HIPERLIPÍDICA**

Dissertação aprovada como requisito parcial para obtenção do grau de Mestre no Programa de Pós-Graduação em Ciências Farmacêuticas da Universidade de Sorocaba.

Aprovado em: \_\_\_\_/\_\_\_\_/\_\_\_\_\_

**BANCA EXAMINADORA:**

Prof<sup>a</sup> Dra. Denise Grotto  
Universidade de Sorocaba

Prof<sup>a</sup> Dra. Maria Aparecida Lopes da Costa  
Universidade de Sorocaba

Dra. Maria Fernanda Hornos Carneiro  
Universidade de São Paulo

Dedico este trabalho ao meu querido e amado esposo Adilson Spim e meu adorável filho Nikolas Spim. Parceiros, companheiros e alegria da minha vida.

## **AGRADECIMENTOS**

Agradeço a Deus primeiramente pela graça da vida, pela sabedoria e oportunidade de realizar esse trabalho.

À Prof. Denise Grotto, por ter me conduzido na orientação dessa dissertação, pelo companheirismo e amizade que foram de grande importância para a conclusão deste trabalho.

Ao meu esposo Adilson Spim pelo incentivo, paciência e presença constante na minha vida. Ao meu filho amado Nikolas Spim por todo seu apoio e carinho. À minha família pelo apoio, incentivo e orações.

Agradeço à Coordenadora de Nutrição Luciane Lopes Sant'Ana e a Prof. Maria Aparecida “Cida” por todo o carinho, amizade e contribuição neste momento tão importante na minha vida. Ao Coordenador do mestrado Sílvio Barberato, ao corpo docente do mestrado Luciane Cruz Lopes, Dr. Newton Polimeno, Marli Gerenutti, Daniela Junqueira por todos os ensinamentos transmitidos. Aos amigos conquistados e que tanto me ajudaram nesta pesquisa, Fernanda Gomes, Bruna Chrispim, Thaisa Borim, Júnior Poles, Bianca Hessel, Valéria Orsi, Néia, Marcia, Gustavo.

Muito agradecida ao patrocinador Yuri Cogumelos, a Universidade de Sorocaba pela confiança. À CAPES e FAPESP pelo suporte financeiro deste trabalho.

À todos a minha gratidão!

## RESUMO

O estilo de vida e as facilidades do mundo contemporâneo têm influenciado os hábitos alimentares, favorecendo o consumo de dietas hipercalóricas e inadequadas. Por outro lado, os alimentos funcionais ou nutracêuticos são capazes de prevenir ou reduzir o risco de obesidade e doenças relacionadas. O cogumelo *Lentinula edodes* (*L. edodes*) é um alimento com excelentes características nutricionais por possuir baixo teor lipídico, alto teor protéico, ser fonte de vitaminas e minerais, e rico em fibras. Alguns estudos têm demonstrado que o *L. edodes* apresenta ação antitumoral, hipoglicêmica, redutora de colesterol e antitrombótica. Assim, com objetivo de verificar o efeito da ingestão de doses adequadas do cogumelo *L. edodes* associado à dieta hiperlipídica, 18 ratos machos Wistar foram separados em três grupos conforme descrito a seguir (n=6 ratos/grupo): I- Controle (dieta normal). II – Dieta hiperlipídica; III – Dieta hiperlipídica + *L. edodes* (100 mg/Kg). Após 30 dias expostos às dietas, foram avaliados parâmetros hematológicos, bioquímicos, do peso e de estresse oxidativo. Para tanto, foram analisados, por kit comercial, glicose, triglicerídeos, colesterol (total e frações), frutosamina e gama glutamil transferase. Foram analisados os marcadores de estresse oxidativo peroxidação lipídica, glutatona reduzida, catalase e glutatona peroxidase por métodos espectrofotométricos. E parâmetros hematológicos, creatinina, ureia e transaminases foram avaliados em equipamentos automatizados Sysmex Xs 1000i e COBAS C111, respectivamente, Roche®. A partir dos resultados obtidos, pode-se observar que a dieta hiperlipídica induziu aumento de colesterol total e triglicerídeo. O *L. edodes* reduziu significativamente estes parâmetros a valores semelhantes aos encontrados no grupo controle. Além disso, a dieta hiperlipídica aumentou a atividade das enzimas hepáticas alanina aminotransferase (ALT) e aspartato aminotransferase (AST), que indicam possíveis danos hepáticos. O *L. edodes* reverteu este quadro, normalizando a atividade das enzimas. Com relação aos marcadores renais, o *L. edodes* se mostrou capaz de normalizar os níveis séricos de ureia, que estavam aumentados devido à dieta hiperlipídica, e também reduziu a glicose urinária e sanguínea. Observando os marcadores de estresse oxidativo, a dieta rica em lipídeos induziu o aumento nos níveis de peroxidação lipídica, e o *L. edodes*, por sua vez, reduziu os níveis de substâncias reativas ao ácido tiobarbitúrico (TBARS) a valores semelhantes àqueles encontrados no grupo controle, prevenindo assim a oxidação dos ácidos graxos, com

possível ação antioxidante. Diante disso, o *L. edodes* foi capaz de reduzir as desordens metabólicas induzidas pelo consumo de dieta hiperlipídica, revertendo principalmente injúrias hepáticas e colesterolêmicas. As propriedades bioativas do cogumelo *L. edodes*, como a hipolipidêmica, hipoglicêmica, e hepatoprotetora, podem ser provenientes das β-glucanas e das fibras, encontradas em concentrações significativas neste estudo. Desta forma, o *L. edodes* pode ser uma boa indicação como suplemento alimentar.

**Palavras-chave:** Nutracêuticos. *Lentinula edodes*. Obesidade. Desordem metabólica. Estresse oxidativo.

## ABSTRACT

The lifestyle and the amenities of the modern world have influenced the eating habits, favoring the consumption of a high fat and inadequate diets. On the other hand, functional foods or nutraceuticals are able to prevent or reduce the risk of obesity and related diseases. *Lentinula edodes* mushroom (*L. edodes*) is a food with excellent nutritional characteristics because it has low fat and high protein content, is source of vitamins and minerals, besides its high fiber content. Some studies have shown *L. edodes* has antitumor, hypoglycemic, cholesterol reducer, antithrombotic actions. Thus, in order to determine the effect of appropriate doses of *L. edodes* intake associated with fat diet, 18 male Wistar rats were divided into three groups as follows (n = 6 mice / group): I- control (diet normal). II – High-fat diet; III – High-fat diet + *L. edodes* (100 mg / kg). After 30 days in treatment, rats were evaluated regarding hematologic parameters, biochemical profile, weight and oxidative stress. Therefore, glucose, triglycerides, cholesterol (total and fractions), fructosamine and gamma-glutamyl transferase were analyzed by commercial kit. Oxidative stress biomarkers as lipid peroxidation, reduced glutathione, catalase and glutathione peroxidase were analyzed by spectrophotometric methods. Hematological parameters, creatinine, urea and transaminases were evaluated in automated equipment Sysmex XS 1000i and COBAS C111, respectively, from Roche®. From the results obtained, it was observed the high-fat diet increased total cholesterol and triglyceride levels. *L. edodes* significantly reduced these parameters to values similar to those found in the control group. Furthermore, the high-fat diet increased the activity of hepatic enzymes alanine aminotransferase (ALT) and aspartate aminotransferase (AST), indicating potential liver damage. *L. edodes* reversed this state, controlling the enzyme activities. Regarding renal markers, *L. edodes* was able to regulate the serum levels of urea, which were increased due to the high-fat diet, and also reduced urinary and blood glucose levels. Observing the oxidative stress markers, the high-fat diet increased the lipid peroxidation, and *L. edodes*, in turn, reduced the levels of reactive substances to thiobarbituric acid (TBARS ) similar to that found in the control group, thus preventing the oxidation of fatty acids, with possible antioxidant property. Therefore, *L. edodes* was able to reduce metabolic disorders induced by high-fat diet consumption, mostly reversing the liver injury and the hypercholesterolemia. The bioactive properties from *L. edodes* mushroom, as hypolipidemic, hypoglycemic, and hepatoprotective may be

from the  $\beta$ -glucans and fibers, found in high concentrations in this study. Thus, *L. edodes* can be a good indication as a food supplement.

**Key words:** Nutraceuticals. *Lentinula edodes*. Obesity. Metabolic disorder. Oxidative stress.

## LISTA DE ABREVIATURAS

- ALT - Alanina aminotranferase  
AST - Aspartato aminotranferase  
ATP - Adenosina trifosfato  
CAT – Catalase  
CCK - Colecistocinina  
CEUA - Comissão de ética no uso de animais  
*DRI - Dietary Reference Intakes*  
DTNB - 5-5-ditio-bis-2-ácido nitrobenzóico  
EDTA - Ácido etilenodiamino tetra-acético  
 $\gamma$ -GT - Gama glutamil tranferase  
GR - Glutationa redutase  
GSH - Glutationa reduzida  
GSH-Px - Glutationa peroxidase  
Hb - Hemoglobina  
HCL - Ácido clorídrico  
HDL - Lipoproteína de alta densidade  
 $H_2O_2$  - Peróxido de hidrogênio  
 $H_3PO_4$  - Ácido fosfórico  
HTC - Hematócrito  
IMC - Índice de massa corporal  
KOH - Hidróxido de potássio  
LDL - Lipoproteína de baixa densidade  
*L. edodes* - *Lentinula edodes*  
MCH - Hemoglobina corpuscular média  
MCHC - Concentração de hemoglobina globular média  
MCV - Volume corpuscular médio  
MDA – Malondialdeído  
mM - Milimolar  
NADH - Dinucleótido de nicotinamida e adenina  
NADPH - Fosfato dinucleótido de nicotinamida e adenina  
NAOH - Hidróxido de sódio  
nm - Nanometro

OH - Radical hidroxila  
O<sub>2</sub> - Oxigênio  
PLQ - Número de plaquetas  
RBC - Contagem total de eritrócitos  
rpm - Rotação por minuto  
SDS - Dodecil sulfato de sódio  
SOD - Superóxido dismutase  
TAS - Tampão acetato de sódio  
TBA - Ácido tiobarbitúrico  
TBARS - Substâncias reativas ao ácido tiobarbitúrico  
TCA - Ácido tricloroacético  
TFK - Tampão fosfato de potássio  
TNF - Fator de necrose tumoral  
UV/VIS - Ultravioleta visível  
VLDL - Lipoproteína de muito baixa densidade  
WBC - Contagem total de Leucócitos

## SUMÁRIO

<b>1 APRESENTAÇÃO.....</b>	<b>12</b>
<b>2 INTRODUÇÃO.....</b>	<b>13</b>
<b>2.1 Alterações no metabolismo energético.....</b>	<b>13</b>
<b>2.2 Alimentos funcionais.....</b>	<b>17</b>
<b>2.3 Cogumelo como alimento funcional.....</b>	<b>20</b>
<b>2.3.1 <i>Lentinula edodes</i>.....</b>	<b>22</b>
<b>3 OBJETIVOS.....</b>	<b>24</b>
<b>3.1 Geral.....</b>	<b>24</b>
<b>3.2 Específicos.....</b>	<b>24</b>
<b>4 MATERIAL E MÉTODOS.....</b>	<b>25</b>
<b>4.1 Reagentes e soluções.....</b>	<b>25</b>
<b>4.2 Tratamento dos animais.....</b>	<b>25</b>
<b>4.3 Processamento do <i>L. edodes</i>.....</b>	<b>27</b>
<b>4.4 Composição Nutricional do <i>L. edodes</i>.....</b>	<b>27</b>
<b>4.5 Parâmetros hematológicos.....</b>	<b>29</b>
<b>4.6 Parâmetros bioquímicos.....</b>	<b>29</b>
<b>4.7 Parâmetros do estresse oxidativo.....</b>	<b>32</b>
<b>4.8 Análise estatística.....</b>	<b>33</b>
<b>5 RESULTADOS E DISCUSSÃO.....</b>	<b>34</b>
<b>5.1 Pesos e medidas.....</b>	<b>34</b>
<b>5.2 Artigo Científico.....</b>	<b>36</b>
<b>6 CONCLUSÃO DA DISSERTAÇÃO.....</b>	<b>66</b>
<b>REFERÊNCIAS.....</b>	<b>67</b>
<b>ANEXO A – Carta de Aprovação da Comissão de Ética Animal.....</b>	<b>74</b>
<b>ANEXO B – Atestado de Sanidade Animal.....</b>	<b>75</b>
<b>ANEXO C – Submissão do artigo à revista European Journal of Nutrition.</b>	<b>76</b>
<b>ANEXO D - Guia da Revista “European Journal of Nutrition” .....</b>	<b>77</b>
<b>ANEXO E - Participação em Congressos.....</b>	<b>82</b>
<b>ANEXO F – Apresentação de Pôsteres em Congressos.....</b>	<b>87</b>
<b>ANEXO G – Premiações .....</b>	<b>92</b>
<b>ANEXO H – Participação em Bancas de Trabalho de Conclusão de Curso.....</b>	<b>94</b>
<b>ANEXO I - Orientação e monitoramento em laboratório de alunos de Graduação em Nutrição.....</b>	<b>96</b>
<b>ANEXO J – Membro da organização do VIII Simpósio Internacional Sobre Cogumelos no Brasil.....</b>	<b>98</b>
<b>ANEXO K – Estágio de docência.....</b>	<b>99</b>

## **1 APRESENTAÇÃO**

Esta dissertação está apresentada em formato de artigo científico, seguindo as “Orientações para apresentação de dissertações do Programa de Pós-Graduação em Ciências Farmacêuticas da Universidade de Sorocaba”.

Assim, as seções “Resultados” e “Discussão” encontram-se agrupadas, e apresentam o manuscrito, redigido na língua inglesa e o texto segue as normas indicadas pela revista a qual o artigo foi submetido.

## 2 INTRODUÇÃO

### 2.1 Alterações no metabolismo energético

A obesidade configura um dos maiores problemas de saúde pública em países desenvolvidos e em desenvolvimento. Embora os fatores ambientais e genéticos desempenhem papel importante na obesidade, fatores endógenos como o sistema endócrino e hereditariedade e fatores exógenos como ingestão excessiva de alimentos com alto teor energético e o sedentarismo também contribuem de forma significativa para sua etiologia (LANDSBERG et al., 2013).

Algumas doenças como síndrome metabólica, dislipidemias, resistência à insulina, doenças cardiovasculares entre outras, estão diretamente ligadas à obesidade. A principal causa da obesidade é o desequilíbrio entre as calorias ingeridas e o gasto energético. Isto se deve à ingestão excessiva de alimentos com alto teor calórico, como gordura e açúcares, associado ao aumento da inatividade física devido ao sedentarismo (WHO, 2013). Em 2014 a população com sobrepeso atingiu o número de 1,9 bilhão de pessoas no mundo e 95 milhões de brasileiros (SBCBM, 2014).

O acúmulo de gordura anormal ou excessiva pode ser mensurada por meio do cálculo do índice de massa corporal (IMC), que consiste em dividir o peso do indivíduo pela altura ao quadrado. Esse método é baixo custo e de simples obtenção, tanto em inquéritos populacionais, como na prática clínica e no monitoramento em saúde (TOMASI et al., 2014). Uma pessoa com IMC de 25 a 29 é considerada com sobre peso. Uma pessoa com IMC de 30 a 39 é considerada obesa, e acima de 39 é considerada com obesidade mórbida (WHO, 2013).

A epidemia da obesidade tem acelerado o interesse em pesquisas na área de metabolismo e, em especial, no imunometabolismo. Essa é uma área que investiga a interface da imunologia e do metabolismo, anteriormente separados. Segundo Carvalheira et al. (2013), a obesidade afeta a função imunológica e promove inflamação no organismo, uma vez que o excesso no armazenamento de nutrientes resulta em disfunção metabólica. Essa disfunção, por sua vez, ativa a inflamação inata e adaptativa no tecido adiposo. O efeito direto da resposta inflamatória é promover resistência à insulina e desenvolvimento de doença metabólica induzida pela obesidade (CARVALHEIRA et al., 2013).

Desordem metabólica é o conjunto de fatores que, associados, vão levar ao aumento do risco de problemas cardiovasculares. Esses fatores são aumento da cintura abdominal, da pressão alta, alterações do colesterol, dos triglicerídeos e da glicemia (WISSE, 2004). A obesidade associada ao aumento da relação cintura/quadril ou gordura visceral reflete o estado metabólico anormal de gorduras em excesso.

O tecido adiposo visceral é o principal local de produção de citocinas que contribuem para a progressão da aterosclerose. Elas desempenham papel importante na resistência à insulina, dislipidemia e na indução de estados trombóticos e inflamatórios (SIDDIQUI et al., 2014).

Além disso, o processo inflamatório decorrente das desordens metabólicas causa modificações nas condições fisiológicas, associadas às doenças crônicas não transmissíveis. De fato, a interação entre o metabolismo e o sistema imunológico sugere a existência de mecanismos patogênicos que podem não apenas explicar as complicações da obesidade, mas também oferecem informações substanciais para novas intervenções terapêuticas (CARVALHEIRA et al., 2013; BARBIERI et al., 2001).

Os resultados encontrados por Mozaffarian et al. (2004), em estudo com humanos, sugeriram que a ingestão de gorduras “trans” está relacionada com a inflamação sistêmica. Isto ocorre devido a concentrações elevadas de receptores de Fator de Necrose Tumoral (TNF) em indivíduos com maiores IMCs, gerando processos patológicos como doenças coronarianas e diabetes.

Os níveis elevados de lipoproteínas de baixa densidade (LDL) desempenham papel importante no desenvolvimento e progressão da aterosclerose. Por outro lado, níveis aumentados de lipoproteínas de alta densidade (HDL) equilibram o efeito deletério da LDL na parede vascular. Outras intervenções para regularizar a hipercolesterolemia vão desde mudanças no estilo de vida, com a alimentação equilibrada a tratamentos farmacológicos. Existem estratégias de sucesso para abordar esta questão, como o aumento da ingestão das lipoproteínas HDL para aumentar a proteção vascular, prevenindo eventualmente doenças coronarianas (BADIMON; VILAHUR, 2012).

Além das lipoproteínas, os parâmetros hematológicos também são amplamente utilizados para diagnósticos de doenças. Quando apresentam valores fora da normalidade podem auxiliar no diagnóstico de doenças como o câncer, doenças autoimunes e doenças cardiovasculares (PINI et al., 2011). Além destas

doenças, Barbieri et al. (2001) consideraram que a resistência insulínica e a gordura abdominal poderiam estimular a proliferação de eritroblastos e consequentemente o número de células vermelhas.

Tao et al. (2013) acompanharam o tratamento de 3.180 adultos com síndrome metabólica e mostraram que a utilização de marcadores hematológicos se fez importante e necessário para um diagnóstico precoce de risco, pois a síndrome metabólica está relacionada com alterações nas contagens de leucócitos em adultos de 20 a 35 anos de idade.

Um mecanismo importante na patogênese e progressão da obesidade e de doenças relacionadas a ela é a inflamação derivada do estresse oxidativo. Em condições fisiológicas, espécies reativas (ERs) de oxigênio e de nitrogênio são produzidas pelo organismo. São, porém, efetivamente eliminadas por sistemas antioxidantes intra e extracelulares. Todavia, quando há desequilíbrio entre a produção de ER e as defesas antioxidantes, gera-se um estado pró-oxidante, denominado de estresse oxidativo (HALLIWELL; CHIRICO, 1993).

Na patogênese da obesidade, o excesso de nutrientes desencadeia, entre outras respostas celulares, a produção excessiva de ERs (ROBERTS; SINDHU, 2009). As ERs são geradas durante a oxidação de glicose e de ácidos graxos livres pelas mitocôndrias, e a partir de processos metabólicos em outras partes da célula (HOPPS et al., 2010). Além disso, aumento nas concentrações de citocinas inflamatórias podem também conduzir ao aumento do estresse oxidativo (BONDIA-PONS et al., 2012).

O nível de estresse oxidativo é determinado pelas quantidades de radical ânion superóxido ( $O_2^{>}$ ), peróxido de hidrogênio ( $H_2O_2$ ) e radical hidroxila ( $OH^{\cdot}$ ) nas células. As enzimas antioxidantes como a superóxido dismutase (SOD), a glutationa peroxidase (GSH-Px) e a catalase (CAT) trabalham em defesa das células contra as ERs de oxigênio. A SOD é a enzima que converte o  $O_2^{>}$  em  $H_2O_2$ , e está intimamente ligada à CAT, pois é essa última que converte o  $H_2O_2$  em água, garantindo o balanço oxidativo e reduzindo os danos causados por essas ERs. A GSH-Px, por sua vez, é uma enzima antioxidante selênio-dependente, responsável pela redução de hidroperóxidos orgânicos e  $H_2O_2$  em álcoois e água, respectivamente, a partir da glutationa reduzida (GSH). A GSH-Px atua de maneira importante na proteção celular quanto às mudanças oxidativas, sendo este um dos mecanismos de defesa antioxidante mais importante do sistema (CAMPANELLA et al., 2014).

Quantidades elevadas de ERs estão relacionadas ao processo de envelhecimento, bem como, com várias doenças, incluindo o câncer, a isquêmia e os danos nas funções imunológicas e endócrinas. Portanto, quando o estresse oxidativo surge como consequência de uma patologia, o sistema de defesa promove a regulação e expressão destas enzimas. Em pacientes que sofreram infarto agudo do miocárdio, por exemplo, há aumento do quadro de estresse oxidativo, com redução da atividade enzimática antioxidante (MATÉS et al., 1999).

As desordens metabólicas também influenciam a fisiologia das funções hepáticas e renais. A enzima alanina aminotransferase (ALT), encontrada comumente no plasma e outros tecidos, está geralmente associada ao fígado, e a enzima aspartato aminotransferase (AST) é encontrada nas células do fígado, coração, rins, pâncreas e músculos. Tanto a ALT quanto a AST são liberadas na corrente sanguínea exacerbadamente quando há algum dano à membrana dos hepatócitos. Deste modo, o aumento das transaminases é muito utilizado como um marcador da função hepática (SCHINDHELM et al., 2006; WARREN; SWANSON, 1999).

O sistema renal exerce papel fundamental no equilíbrio dos líquidos e eletrólitos e na eliminação dos resíduos metabólicos, essenciais à homeostase corpórea. A obesidade está associada ao aumento do fluxo plasmático renal e taxa de filtração glomerular, elevando assim a concentração de ureia na urina (CHAGNAC et al., 2003). O controle da ureia pelo hormônio antidiurético permite ao organismo criar urina mais concentrada que o plasma sanguíneo para prevenir a perda de água. Dessa forma, economiza água para manter a pressão sanguínea adequada e os íons de sódio no plasma sanguíneo (MARSICANO et al., 2015).

A creatinina é uma substância proveniente da degradação da creatina fosforilada. A creatina é produzida pelo fígado, rins e pâncreas e transportada até os músculos onde é degradada por meio da catalisação pela enzima creatina quinase. Essa reação se dá por meio da contração muscular, posteriormente a creatinina é lançada na corrente sanguínea e eliminada na urina. Desta forma, a creatinina é um importante parâmetro de avaliação da função renal, uma vez que sua excreção se dá por filtração glomerular (NAVES et al., 2003).

Em estudo com 8 indivíduos obesos (observados antes e após emagrecimento) e 9 indivíduos saudáveis (tidos como controle), no qual o fluxo plasmático renal e taxa de filtração glomerular de todos foram avaliados com o objetivo de comparar se a perda de peso poderia alterar ou não estes indicadores. Os resultados apontaram

melhora na filtração glomerular após a perda de peso, podendo ainda prevenir o desenvolvimento de alguma glomerulopatia relacionada à obesidade (CHAGNAC et al., 2003).

Assim, percebe-se que evitar a obesidade é o mais adequado na prevenção das desordens metabólicas. Entretanto, quando se trata de população já obesa, o objetivo passa a ser diminuir a prevalência da obesidade, especialmente em população de risco. Trata-se de um desafio primordial, mas de longo prazo, pois requer abordagens como parte de um plano terapêutico, que requer ainda múltiplos esforços, com envolvimento de órgãos governamentais, novas legislações para alimentos industrializados e investimentos no atendimento multiprofissional na saúde. Fazem-se necessárias também mudanças nos hábitos e estilo de vida, como inserção de alimentos funcionais, com foco na perda de peso e redução de riscos (LANDSBERG et al., 2013).

## 2.2 Alimentos funcionais

Alimento funcional foi definido por meio da Portaria nº 398, em 30 de abril de 1999, de responsabilidade do Ministério da Saúde, segundo a Agência Nacional de Vigilância Sanitária (RDC nº 398, 1999), como sendo,

“alimento ou ingrediente com alegação de propriedades funcionais e/ou de saúde e que pode, além de funções nutricionais básicas, produzir efeitos metabólicos e/ou fisiológicos benéficos à saúde, devendo ser seguro para consumo sem supervisão médica, porém a eficácia desses alimentos deve ser assegurada por estudos científicos”.

Avanços na ciência dos alimentos e na nutrição têm destacado a possibilidade de modular algumas patologias, como a obesidade, com a ingestão de alimentos funcionais (SERRANO; SANCHEZ-GONZALEZ, 2008). Os mecanismos pelos quais os alimentos funcionais podem atuar no controle e/ou prevenção do sobrepeso e de doenças relacionadas são vários:

- 1) inibição de sinais orexígenos que aumentam a sensação de fome ou melhora de sinais anorexígenos, inibindo a vontade de ingerir alimentos. Por exemplo, o amendoim contém inibidores de tripsina que estimulam o aumento plasmático de colecistocinina (CCK), sugerindo que o efeito sacietógeno ocorre por meio do mecanismo de *feedback* em níveis

luminal e sanguíneo, consequentemente, gerando efeitos fisiológicos induzindo menor ingestão alimentar (SERQUIZ, 2012);

- 2) inibição de enzimas associadas à digestão e absorção de gorduras, diminuindo a biodisponibilidade do colesterol, por exemplo, a aveia e a maçã (FIGUEIREDO et al., 2009);
- 3) estimulação do gasto energético, uma vez que muitos alimentos são termogênicos, exemplo a linhaça, o chá verde e a pimenta (CARDOSO et al., 2010); e
- 4) modificação da composição da microbiota intestinal, a qual altera a absorção de substâncias como o colesterol (KUMAR et al., 2012). Por exemplo, os alimentos probióticos como o leite fermentado (ROCHA, 2012).

Os alimentos funcionais capazes de prevenir ou reduzir o risco de obesidade e doenças relacionadas poderiam ser selecionados com base nos seus principais componentes, desde que possam estar relacionados aos mecanismos acima citados (SERRANO; SANCHEZ-GONZALEZ, 2008; YUN, 2010).

Os alimentos funcionais são fontes de importantes substâncias bioativas, as quais podem agir em processos biológicos, impactando nas funções e condições do organismo. Dentre estas substâncias podem-se citar as vitaminas, proteínas, peptídeos e compostos fenólicos entre muitas outras (MOLLER et al., 2008).

Os ácidos fenólicos, os flavonóides, as cumarinas e os taninos também são compostos de grande importância encontrados nos alimentos funcionais (ANGELO; JORGE, 2007). Os compostos fenólicos são originados do metabolismo secundário das plantas, sendo essenciais para o seu crescimento e reprodução, e têm grande capacidade antioxidante (ANDREO; JORGE, 2011).

De acordo com Anjo (2004), os flavonóides protegem contra a oxidação do colesterol LDL à medida que reduzem as espécies ERs de oxigênio, quelam os íons metálicos e regeneram o alfa-tocoferol. Atuam também diminuindo significativamente a produção de ERs no processo inflamatório, nos tumores e na inibição da agregação plaquetária, reduzindo as cardiopatias e as tromboses. As antocianinas, flavonóides solúveis em água, são consideradas antioxidantes *in vitro* e *in vivo* e antimutagênicas *in vivo*. A ação antioxidante também é observada nas catequinas, nos flavonóides e nos ácidos fenólicos presentes no vinho (JACQUES et al., 2009).

Segundo as diretrizes da Organização Mundial de Saúde (WHO, 2013), o sobrepeso e a obesidade podem ser reduzidos por meio da simples escolha saudável de alimentos, aumentando-se o consumo de frutas, verduras, leguminosas e grãos integrais. Assim, muitos alimentos com possíveis propriedades para diminuir níveis de colesterol, glicemia e peso corporal já foram estudados, com sucesso cientificamente comprovado, como por exemplo, a aveia (MAKI et al., 2010; CHANG et al., 2013).

Zani et al. (2015) avaliaram dois grupos de 66 mulheres idosas com síndrome metabólica, apresentando hipertensão arterial, dislipidemia e obesidade abdominal. Os grupos participavam de palestras educativas a cada 15 dias, um grupo recebia 30 gramas de aveia ao dia. Avaliações físicas e bioquímicas foram realizadas mensalmente por 90 dias. As idosas que recebiam suplementação alimentar com aveia, apresentaram redução significativa na circunferência abdominal e no colesterol total. Os dois grupos apresentaram redução de LDL. Os resultados encontrados sugeriram que as intervenções educativa e dietética (com aveia), associadas ao tratamento medicamentoso convencional poderiam ser eficazes no controle do perfil lipídico e para redução da circunferência abdominal.

Outro alimento que atua no metabolismo lipídico e de carboidratos é a canela (IMPARL-RADOSEVICH et al., 1998; KHAN et al., 2003). Indivíduos com diabetes tipo 2 foram expostos a diferentes concentrações de canela (1, 3 e 6 g/dia) na forma de cápsulas por vinte dias. Ao término deste período, os pacientes tiveram seus níveis de glicose, triglicerídeos e colesterol reduzidos em todas as doses, quando comparados aos indivíduos diabéticos que consumiram placebo (KHAN et al., 2003).

A jabuticaba também possui propriedades que podem auxiliar nas doenças relacionadas à obesidade. A casca liofilizada e moída da jabuticaba foi administrada por dez semanas, nas doses de 1, 2 e 4% ao dia, para ratos recebendo uma dieta com alta concentração de lipídeo, comparado a ratos recebendo dieta normal. Apesar dos resultados de massa corpórea não terem sofrido alteração com o consumo de jabuticaba, os níveis de insulina foram reduzidos e o níveis de colesterol HDL aumentaram (LENQUISTE et al., 2012).

Outros componentes importantes dos alimentos funcionais são as fibras, polissacarídeos, lignina, oligossacarídeos e substâncias associadas, resistentes à digestão e absorção no intestino delgado humano, com fermentação completa ou parcial no intestino grosso (AMERICAN DIETETIC ASSOCIATION, 2002). De acordo com Anjo (2004), dentre os efeitos da ingestão de oligossacarídeos e polissacarídeos

estão a redução do nível de colesterol sanguíneo e a redução da obesidade, visto que promovem rápida eliminação do bolo fecal, com redução do tempo de contato do epitélio intestinal com substâncias mutagênicas ou carcinogênicas, e formação de substâncias protetoras pela fermentação bacteriana dos compostos da alimentação.

No estudo de Moraes e Colla (2006), os autores relataram que dentre as fibras solúveis estão as pectinas e hemiceluloses, e estas tendem a formar géis em contato com água, aumentando a viscosidade dos alimentos parcialmente digeridos no estômago. As fibras solúveis diminuem a absorção de ácidos biliares e têm atividades hipocolesterolêmicas. Quanto ao metabolismo lipídico, as fibras parecem diminuir os níveis de triglicerídeos, colesterol e reduzir a insulinemia.

As fibras alimentares apresentam grande variedade de propriedades físico-químicas e efeitos fisiológicos. A função da fibra na saúde vai além do tratamento de constipação intestinal; inclui também benefícios sobre fatores de risco para doença cardiovascular, controle de peso, função imunológica e integridade do cólon. Contudo, nem todas as fibras são iguais em termos de extensão de benefícios para a saúde. Características como solubilidade, capacidade de fermentação, e viscosidade são determinantes no efeito que a fibra terá no metabolismo. Devido à variabilidade de efeitos de fibras no corpo, é importante o consumo de várias fontes de alimentos (SLAVIN, 2013).

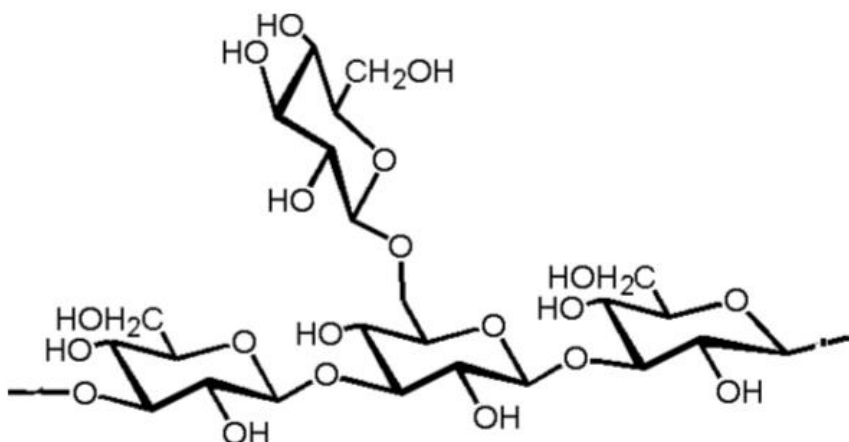
A ingestão de fibras em todo o mundo ainda é menos da metade do recomendado para a promoção da saúde e prevenção de doenças (PADOVANI et al., 2006). Segundo a *Dietary Reference Intakes* (DRIs) seu consumo está estimado de 25 a 38 g/dia para um adulto (PADOVANI et al., 2006).

### **2.3 Cogumelos como alimento funcional**

Os cogumelos são fungos utilizados na alimentação desde a antiguidade, apreciados por seu valor nutricional e medicinal (LEMOS, 2009; PAULI, 2010). Os cogumelos são alimentos saudáveis, com baixo valor calórico, baixa concentração de gorduras, ricos em proteínas, e possuem todos os aminoácidos essenciais. Além de serem fonte de vitaminas, minerais e fibras alimentares (MANZI et al., 1999), ademais também possuem vários compostos biologicamente ativos, funcionais, como polissacarídeos, glicoproteínas e antioxidantes. Por isso, também são utilizados como fonte medicinal (NOVAES; FORTES, 2005).

Os polissacarídeos dos cogumelos têm se tornado bem conhecidos e amplamente utilizados em muitos países como parte da dieta e medicina tradicional chinesa, e nas últimas décadas têm sido intensificados as pesquisas para a inclusão e a utilização das suas propriedades medicinais em produtos farmacêuticos. Na verdade, algumas dessas substâncias, principalmente  $\beta$ -glucanas (Figura 1) ou polissacarídeos foram incluídas no mercado, em alguns países, como fitoterápico antitumoral e imunoestimulante (ISRAILIDES et al., 2008).

**Figura 1- Estrutura de  $\beta$ -glucana e suas ligações.**



Fonte: Zekovic et al. (2005)

De acordo com Angelo; Jorge (2007), o mecanismo de ação dos antioxidantes presentes em cogumelos comestíveis tem papel importante na redução da oxidação lipídica. Quando incorporados na alimentação, os antioxidantes não conservam somente a qualidade do alimento, mas também reduzem o risco de desenvolvimento de patologias relacionadas à obesidade.

Os principais mecanismos envolvidos nos efeitos hipocolesterolêmicos dos cogumelos comestíveis são i) ácidos graxos dos cogumelos contribuem para reduzir o colesterol sérico; ii) a fibra alimentar pode afetar as concentrações de lipídeos pela formação de géis viscosos a partir de fibra solúvel, contribuindo na não absorção do colesterol e triglicerol; iii) aumento na excreção fecal de ácidos biliares e ácidos graxos de cadeia curta, o que inibe a incorporação do acetato (substrato para a síntese de esteróis e ácidos graxos) aos lipídios séricos; iv) presença de substâncias como

lentinacina,  $\beta$ -glucanas, que têm mostrado efeito hipocolesterolêmico (GUILLAMÓN et al., 2010).

O fato de muitas destas substâncias serem produzidas por cogumelos comestíveis os torna bons candidatos para a formulação de novos alimentos funcionais e nutracêuticos. Na dose correta, pode-se fazer uso dos cogumelos para ação imunomoduladora (ISRAILIDES et al., 2008), anticâncer (ROP et al., 2009), antiviral (RINCÃO et al., 2012), hipocolesterolêmico (ALAM et al., 2011; ZHU et al., 2013), hipoglicêmico (MIRCEA et al., 2013; FORTES et al., 2008) e outras propriedades promotoras de saúde (GIAVASIS, 2014).

### 2.3.1 *Lentinula edodes*

O *Lentinula edodes* (*L. edodes*) chegou ao Brasil há algumas décadas com os imigrantes japoneses. O mercado é promissor e cresce a nível nacional, porém é muito influenciado por questões culturais de alimentação. Por outro lado, apresenta incremento comercial devido ao seu uso medicinal (BETT; PERONDI, 2011). O *L. edodes*, popularmente conhecido como Shiitake, é o segundo cogumelo comestível mais cultivado no mundo, correspondendo a 25% da produção mundial, e assim, como todo cogumelo comestível, é um alimento completo do ponto de vista nutricional por possuir baixo teor lipídico, alto teor protéico e fonte de vitaminas e minerais (PAULI, 2010).

A utilização do *L. edodes* contribui para o enriquecimento nutricional e tem aumentado o interesse em alimentos que desempenham mais que a função puramente nutritiva, ou seja, apresentem também atividades funcionais. Estudo com ratos alimentados por 42 dias com dieta hipercolesterolêmica mostrou que a adição de 5% de *L. edodes* à dieta foi capaz de reduzir o colesterol total, o colesterol LDL e os triglicerídeos (YOON et al., 2011). A concentração de *L. edodes* utilizada por Yoon et al., entretanto, é uma concentração elevada, correspondendo a algo em torno 30 kg/habitante/ano, e não reflete um consumo real. Se considerar os chineses, população que mais consumia cogumelos no mundo em 2008, aproximadamente 10 kg de cogumelos/pessoa/ano (ZHANG et al., 2014).

As propriedades do extrato de *L. edodes* apresentados no trabalho de Israilides et al. (2008) sugeriram ação citotóxica com efeito antitumoral em células cancerígenas, agindo também como imunomodulador, estimulando diretamente a proliferação de timócitos.

Apesar da crescente demanda na ingestão de cogumelos no ocidente, o *L. edodes* é ainda um alimento que não é hábito alimentar do brasileiro. Assim, diante da problemática da obesidade e do cogumelo *L. edodes* como alimento funcional, fica evidente a necessidade de estudos que não apenas forneçam subsídios para a inserção dos cogumelos na dieta dos brasileiros, mas estudos que determinem qual a quantidade ideal de consumo humano para obtenção de resultado benéfico à saúde.

### **3 OBJETIVOS**

#### **3.1 Geral**

Avaliar os efeitos terapêuticos nutricionais da ingestão de quantidades ideais ao real consumo humano de cogumelos *L. edodes* em ratos alimentados com dieta hiperlipídica.

#### **3.2 Específicos**

- Determinar a composição centesimal do *L. edodes*.
- Determinar os efeitos da ingestão do cogumelo *L. edodes* sobre os parâmetros hematológicos - contagem total de leucócitos e eritrócitos, hemoglobina, hematócrito, volume corpuscular médio, hemoglobina corpuscular média, concentração de hemoglobina globular média e plaquetas em ratos alimentados com ração hiperlipídica.
- Determinar os efeitos da ingestão do cogumelo *L. edodes* sobre os parâmetros bioquímicos – glicose, triglicerídeos, colesterol (total e frações), frutosamina,  $\gamma$ -glutamil transferase, transaminases, creatinina e ureia em ratos alimentados com ração hiperlipídica.
- Determinar os efeitos da ingestão do cogumelo *L. edodes* sobre os parâmetros do estresse oxidativo - glutationa reduzida, glutationa peroxidase, catalase e substâncias reativas ao ácido tiobarbitúrico em ratos alimentados com ração hiperlipídica.

## 4 MATERIAL E MÉTODOS

### 4.1 Reagentes e soluções

Éter etílico, ácido sulfúrico, sulfato de cobre e potássio, ácido bórico, ácido clorídrico (HCl), ácido acético, ácido nítrico, ácido tricloroacético (TCA), álcool etílico, hidróxido de potássio (KOH), tampão acetato de sódio (TAS), Triton X-100, tampão fosfato de potássio (TFK), 5-5-ditio-bis-2-ácido nitrobenzóico (DTNB), ácido etilenodiamino tetra-acético (EDTA), glutatona reduzida (GSH), glutatona redutase (GR), fosfato dinucleótido de nicotinamida e adenina (NADPH), azida sódica, peróxido de hidrogênio ( $H_2O_2$ ), exo- $\beta$ -1,3-glucanase,  $\beta$ -glicosidase, glucose-oxidase/peroxidase, amiloglicosidase e invertase, hidróxido de sódio (NaOH), malondialdeído (MDA), ácido tiobarbitúrico (TBA), ácido fosfórico ( $H_3PO_4$ ), dodecil sulfato de sódio (SDS).

### 4.2 Tratamento dos animais

Esta pesquisa foi apresentado à Comissão de ética no uso de animais (CEUA) para análise, segundo a Lei Nº 11.794 de 8 de outubro de 2008 e foi aprovado com o Protocolo nº 008/2012 no Anexo A.

A dose utilizada de *L. edodes* (100 mg/kg) foi baseada em estudos prévios do grupo de pesquisa (GROTTO et al., 2015), que utilizaram doses de 100, 400 e 800 mg/kg para determinar o grau de toxicidade associado à dieta hiperlipídica, composta por 60% de lipídeos, e dieta controle com 10% de lipídeos. Para manter a mesma porcentagem de proteína nos grupos, foi necessário ajustes das porcentagens de amido de milho e caseína conforme Fraulob et al., 2010. As rações foram adquiridas comercialmente da empresa Rhoster, especializada no desenvolvimento de produtos para pesquisa, e os constituintes de cada uma delas estão apresentados na Tabela 1.

**Tabela 1 - Composição e conteúdo energético da dieta controle e da dieta com alto teor de lipídeo.**

<b>Componentes (g/kg)</b>	<b>Dieta Controle</b>	<b>Dieta Hiperlipídica</b>
Caseína	140	190
Amido de milho	620,7	250,7
Sacarose	100	100
Óleo de soja	40	40
Banha de porco	-	320
Fibras	50	50
Vitaminas totais	10	10
Sais minerais	35	35
L-Cistina	1,8	1,8
Colina	2,5	2,5
Carboidratos (%)	76	26
Proteínas (%)	14	14
Lipídeos (%)	10	60

Fonte: FRAULOB et al., (2010).

Foram utilizados 18 ratos machos Wistar, com  $45 \pm 3$  dias, peso médio de 153 (g) divididos em 3 grupos ( $n = 6$  animais por grupo).

**GRUPO 1:** controle, recebendo ração habitual;

**GRUPO 2:** ração hiperlipídica;

**GRUPO 3:** ração hiperlipídica e *L. edodes* 100 mg/kg, via gavagem.

Os animais foram mantidos no biotério de experimentação animal do Laboratório de Pesquisa Toxicológica (Lapetox-Uniso) e alocados individualmente em gaiolas metabólicas por 7 dias para adaptação mais 30 dias para controle do consumo de água e ração e coleta de urina. A sala onde os animais estavam alocados tinha temperatura controlada ( $21 \pm 2^\circ\text{C}$ ), ciclo de 12 horas claro/escuro, e sistema de trocas de ar. Os animais receberam água filtrada e as respectivas rações *ad libitum* por 30 dias.

A gavagem era dada sempre no mesmo horário (entre 13h00min e 14h00min). Aos animais do grupo 1 e 2, uma dose de água (2 mL) era administrada via gavagem para manter semelhante o nível de estresse nos ratos.

Para todos os animais, a ingestão de ração e de água foi aferida diariamente e individualmente, por meio da diferença entre a ração ofertada e as sobras. A urina foi também coletada para análises de glicose e microalbuminúria. Os ratos foram pesados e medidos (medida naso-anal) semanalmente. A raiz cúbica da massa corpórea foi dividida pelo comprimento naso-anal e multiplicado por 10 para o cálculo

de Índice de Lee (BERNARDIS; PATTERSON, 1968), preditor da obesidade para roedores, pois equivale ao IMC obtido para humanos (ARAÚJO et al., 2009).

Ao final do experimento, os ratos foram eutanasiados com sobredose de uma mistura do anestésico cetamina (100mg/kg) e do relaxante muscular xilasina (6mg/kg). O sangue (cerca de 5 mL) foi coletado por punção venosa hepática da veia porta e dividido em tubos com anticoagulante EDTA e tubos sem anticoagulante, para separação de plasma e soro, respectivamente. Parte do sangue com EDTA foi aliquotado para posteriores análises e parte foi centrifugado. Todas as amostras foram armazenados em biofreezer a - 80°C para posterior análise.

#### **4.3 Processamento do *L. edodes***

Os cogumelos *L. edodes* foram fornecidos pela Empresa Yuri Cogumelos localizada em Sorocaba (São Paulo - Brasil). Considerando que o *L. edodes* possui alto teor de proteínas e fibras, estes compostos seriam perdidos com a produção de um extrato. Assim, optou-se pela confecção de uma farinha do cogumelo, assim como ocorre com outros alimentos funcionais (chia, aveia, linhaça). Para tanto, as amostras de cogumelo *in natura* foram picadas, desidratadas em estufa com circulação e renovação de ar quente ( $38 \pm 2^{\circ}\text{C}$ ). O material seco foi submetido à moagem em moinho de facas e martelos e tamizado até obtenção de pó fino e homogêneo. Este pó foi diluído em água filtrada e administrado por gavagem aos animais.

#### **4.4 Composição Nutricional do *L. edodes***

Foi determinada a composição centesimal do *L. edodes* com a somatória de porcentagens de umidade, cinzas, lipídeos, proteínas e por diferença de 100%, os teores de carboidratos.

Para verificação da umidade, cinco amostras de 4g foram pesadas em cadinho de porcelana previamente tarados, e foram secas a  $105^{\circ}\text{C}$  até peso constante. Para determinar as cinzas, 3g da amostra foram carbonizadas em bico de Bunsen, em seguida as amostras foram incineradas em Mufla (Quimis Enila) a  $550^{\circ}\text{C}$  por aproximadamente seis horas, até que restasse somente pó branco.

O método utilizado para determinação quantitativa de lipídeos seguiu-se utilizando solvente éter etílico e o equipamento extrator de Soxhlet (Tecnal modelo TE-044). Os reboilers do Soxhlet foram colocados em estufa a  $105^{\circ}\text{C}$  por uma hora para secagem, após resfriados em dessecador, foram pesados e anotados os pesos.

Em triplicata 3g da amostra foram pesadas no cartucho com proteção de algodão, já tarados. O mesmo foi inserido dentro da cesta de metal e conectado ao tubo de ebulação. Aos reboilers preparados conforme descrito acima, foram adicionados 100 ml do reagente éter etílico, ou até que encobrisse as amostras, que ficou em movimento no extrator de lipídios a 80°C por seis horas (ARAÚJO et al., 2013). Os frascos de Soxhlet contendo os lipídios ficaram na capela com fluxo de ar por um dia, em seguida foram levados para a estufa a 105°C por uma hora, para total evaporação da umidade presente nos lipídios. Na sequência foram resfriados em dessecador por uma hora e pesados para obtenção do teor de lipídios (ARAÚJO et al., 2013).

As proteínas foram quantificadas utilizando o método micro Kjeldahl Te-036/1 segundo Zhou et al. (2015) com algumas alterações, que consiste em três fases: digestão, destilação e a titulação. A digestão baseia-se no aquecimento e oxidação de aproximadamente 70 mg da amostra (matéria orgânica) à 390°C com ácido sulfúrico, sulfato de cobre e potássio, por aproximadamente seis horas, ou até que o carbono e hidrogênio sejam totalmente oxidados. No destilador o nitrogênio da proteína, por reação do hidróxido de sódio, foi reduzido e transformado em sulfato de amônia. Em contato com ácido bórico e vermelho de metila, o sulfato de amônia forma borato de amônia, titulado com ácido clorídrico. O teor de proteína total foi calculado multiplicando-se a medida utilizada da solução de ácido clorídrico, pela normalidade e fator de correção do ácido clorídrico, multiplicando pelo fator de conversão do nitrogênio em proteína (6,25) e dividido pelo peso da amostra utilizada.

A composição centesimal do *L. edodes* foi determinada somando-se a umidade, cinzas, lipídios, proteínas, e carboidratos por diferença de 100% (PINELA et al., 2012).

A quantificação de fibras foi feita utilizando a metodologia de McCleary et al. 2010. A amostra foi desengordurada seguindo o mesmo método para quantificar lipídeos. Após a amostra seca, passou por digestão em balão de 500 ml e equipamento de refluxo com ácido acético glacial, ácido nítrico, ácido tricloroacético e areia diatomácea em aquecimento por 40 minutos. A amostra foi filtrada a vácuo, lavada com água fervente até a neutralização do pH, para em seguida, ser lavada com álcool e éter. Posteriormente, a amostra foi seca e pesada, em seguida foi incinerada a 550°C até sobrar cinzas. A diferença entre o peso inicial da amostra e o peso das cinzas são as fibras totais (ORSI, 2011).

A determinação de glucanas totais foi realizada, com auxílio de kit comercial Yeast & Mushroom - Megazyme®. Para isso 100 mg de amostra de *L. edodes* e 1,5 ml de HCl 37% foram incubados por 45 min. a 30°C. Em seguida, O volume foi ajustado para 10 ml, com água deionizada e incubado por mais 2 horas. Após, 10 ml de KOH 2M foram adicionados e o conteúdo foi avolumado para 100 ml com TAS 200 mM pH 5,0 e centrifugado a 1500 rpm por 10 min. O sobrenadante (0,1 ml) foi misturado à 0,1 ml da solução exo- $\beta$ -1,3-glucanase e  $\beta$ -glicosidase e incubado a 40°C por 60 min. Após, 1,5 ml de glucose-oxidase/peroxidase foram adicionados e incubado por mais 20 min. a 40°C. A absorbância foi lida a 510 nm.

Para as  $\alpha$ -glucanas, adicionou-se 2 ml de KOH 2M à 100 mg da amostra. Após 20 minutos de agitação, adicionou-se 0,2 ml de amiloglicosidase e invertase, incubado a 40°C por 30 min. Os tubos foram centrifugados a 1500 rpm durante 10 min. A um volume de 0,1 ml do sobrenadante foi adicionado 0,1 ml de TAS e 3,0 ml de reagente enzimático e incubado por 20 min. a 40°C. A absorbância foi medida a 510 nm em espectrofotômetro. Para a quantificação de  $\beta$ -glucana, foi feito uma subtração de  $\alpha$ -glucana da glucana total.

#### **4.5 Parâmetros hematológicos**

Para as análises hematológicas, foi utilizado o equipamento automatizado Sysmex Xs 1000i-Roche®. Os parâmetros analisados foram: Contagem total de Leucócitos (WBC), Contagem Total de Eritrócitos (RBC), Hemoglobina (Hb), Hematócrito (HTC), Volume Corpuscular Médio (MCV), Hemoglobina Corpuscular Média (MCH), Concentração de Hemoglobina Globular Média (MCHC) e número de plaquetas (PLQ).

#### **4.6 Parâmetros bioquímicos**

As análises bioquímicas foram feitas no soro dos ratos expostos e controle, utilizando kits comerciais. Os parâmetros analisados em soro foram glicose, triglicerídeos, colesterol (total e frações), frutosamina, enzimas hepáticas que fazem parte das provas de função hepática - aspartato Aminotransferase (AST), alanina aminotransferase (ALT) e  $\gamma$ -glutamil transferase ( $\gamma$ -GT) - além de ureia e creatinina, que fazem parte da função renal. Os testes bioquímicos seguem as especificações do fabricante, conforme metodologias abaixo.

Para o teste de glicemia, a glicose foi oxidada pela glicose oxidase, produzindo ácido glucônico e H<sub>2</sub>O<sub>2</sub>, sendo este último associado oxidativamente ao 4-aminoantipireno e ao fenol na presença de peroxidase, produzindo a quinoneimina, de coloração vermelha, medida a absorbância em 505 nm em espectrofotômetro (Lambda 35, PerkinElmer).

Os triglicerídeos do soro foram hidrolisados a glicerol e ácido graxos livres, pela lipoproteína lipase. Na presença de adenosina trifosfato (ATP) e glicerol quinase. O glicerol foi fosforilado a glicerol-3-fosfato, o qual foi oxidado a acetona dihidrogênio fosfato e H<sub>2</sub>O<sub>2</sub> pela enzima glicerol fosfato oxidase. O H<sub>2</sub>O<sub>2</sub>, 4-aminoantipirina e p-clorofenol sofreu o mesmo processo de reação reportado acima, pela peroxidase, em banho-maria 37°C por 10 minutos até formação de coloração vermelha. A absorbância foi lida em 500 nm. Foi utilizado o kit comercial Triglicérides Monoreagente K117, Bioclin®.

Para o procedimento de ésteres de colesterol utilizou-se 10 µL de amostra e 1,0 mL do reagente enzimático em temperatura de 37°C por 10 minutos, que por meio da enzima lipoproteína lipase se transformou em colesterol livre. A reação subsequente envolveu a oxidação de colesterol livre em colesterol-3-ona e H<sub>2</sub>O<sub>2</sub>, pela enzima colesterol oxidase. E com a ação da peroxidase no fenol com 4-aminoantipirina formou um cromógeno cereja, sendo a coloração proporcional à concentração de colesterol. A absorbância foi lida em espectrofotômetro a 500 nm e para a análise foi utilizado o kit comercial colesterol monoreagente K083, Bioclin®.

Para a determinação da Lipoproteína de alta densidade (HDL), o soro foi tratado com ácido fosfotungstato e cloreto de magnésio, assim a Lipoproteína de baixa densidade (LDL) e a Lipoproteína de muito baixa densidade (VLDL) foram precipitadas, e após a centrifugação por 2 minutos a 10.000 rpm, a fração HDL permaneceu dissolvida no sobrenadante e a análise prosseguiu conforme a análise de colesterol. A cor é proporcional à concentração de colesterol na amostra. Foi utilizado na análise o kit Colesterol enzimático InVitro®. O LDL foi calculado subtraindo a concentração do colesterol HDL do colesterol total. Já o VLDL foi calculado pela fórmula de Friedewald, dividindo a concentração de triglicérides por cinco (FRIEDEWALD et al., 1972).

As frutosaminas agem no sangue como "memória glicêmica", ou seja, a concentração de frutosamina representa o índice da variação na concentração da glicose sanguínea durante as duas ou três semanas prévias à coleta de sangue. O

método baseia-se na propriedade do grupo cetoamino das proteínas glicosiladas de reduzir o sal de tetrazólio a formazan, que foi medido colorimetricamente a 530 nm. A velocidade de formação do formazan é diretamente proporcional à concentração de frutosamina na amostra. Foi utilizado para a determinação de frutosamina o kit comercial Fructosamina AA da Wiener lab.®. Para a realização dos procedimentos e dosagens foram seguidas as recomendações do fabricante. As absorbâncias foram lidas nos tempos de reação de 10 e 15 minutos, em espectrofotômetro, em comprimento de onda a 530 nm.

Para a análise das transaminases AST e ALT, ureia e creatinina foi utilizado o equipamento automatizado COBAS C111 Roche®. Para ambas, o consumo de NADH foi avaliado por absorbância em espectrofotometria a 340 nm.

A enzima  $\gamma$ -GT, a L- $\gamma$ -glutamil-3-carboxi-4-nitroanilida, é catalisada a L- $\gamma$ -glutamilmalicilglicina e 5-amino-2-nitrobenzoato. A velocidade de formação do composto 5-amino-2-nitrobenzoato é diretamente proporcional à atividade da  $\gamma$ -GT na amostra, que é lida a 405 nm.

Foram analisadas glicose e microalbuminúria nas amostras de urina. Concentrações elevadas de glicose, a capacidade de reabsorção tubular é ultrapassada, surgindo a glicosúria. A dosagem de glicosúria foi realizada por kit comercial como descrito anteriormente na dosagem de glicose sérica.

A dosagem de microalbuminúria é importante para verificar início de nefropatia diabética, que é acompanhada por danos irreversíveis do rim e proteinúria persistente. Quando a diabetes progride para a doença renal, há excreção de pequenas quantidades de albumina (microalbuminúria) na urina. Portanto, detecção de albumina na urina é uma ferramenta importante para o reconhecimento de danos renais (glomerular) quando esses são mínimos e reversíveis (BANDELA et al., 2013).

Para sua dosagem foi utilizado kit comercial, seguindo método turbidimétrico quantitativo (Microalbumin, InVitro®). A pipetagem e a leitura espectrofotométricas foram divididas em duas etapas, primeiro 900  $\mu$ L de reagente tampão e 60  $\mu$ L de amostra a 37 °C, após 5 minutos foi inserido e homogeneizado mais 150  $\mu$ L de reagente antisoro, a albumina da amostra reagiu com o anti-albumina presente no reagente e a aglutinação provocou aumento da absorbância, lida em espectrofotômetro a 340 nm, proporcional à concentração de albumina da amostra.

#### 4.7 Parâmetros do estresse oxidativo

Foram analisadas glutatona reduzida (GSH), enzimas antioxidantes glutatona peroxidase (GSH-Px) e catalase (CAT) e o biomarcador de substâncias reativas ao ácido tiobarbitúrico (TBARS), conforme segue abaixo.

A determinação da GSH foi por quantificação dos tióis totais, e foi realizado por espectrometria UV-VIS, baseado no método de Ellman (1959). Para isso, 150 µL do sangue, mantido em banho de gelo, foi submetido ao vórtex com 100 µL de Triton X-100 a 10% e 100 µL de TCA a 30% por 20 segundos, para homogeneização. Em seguida as amostras foram centrifugadas por 10 min a 4000 rpm, em temperatura de 4°C, para separar os sobrenadantes. Em 900µL de TFK, 50 µL da amostra (sobrenadante límpido), 50 µL de DTNB 10 mM foram adicionados, formando um complexo amarelo. A leitura foi feita em seguida, em comprimento de onda de 412 nm. Os resultados foram expressos em mM de glutatona. Foi feita curva de calibração com concentrações de 0,005; 0,01; 0,025; 0,05 e 0,1 mM.

A atividade da enzima antioxidante GSH-Px foi determinada em sangue total, baseada na oxidação do NADPH. O sangue foi diluído 40 vezes em tampão fosfato de potássio com EDTA, pH 7,0. Após, 20 µL da amostra diluída foi acrescentada em 880 µL de uma solução contendo: glutatona reduzida, glutatona redutase, NADPH, azida sódica e 100 µL de H<sub>2</sub>O<sub>2</sub>. A atividade da GSH-Px foi monitorada em espectrofotômetro por dois minutos, a 340 nm, de acordo com a metodologia de Paglia e Valentine (PAGLIA; VALENTINE, 1967). Pela medida do decaimento da absorbância do NADPH foi possível determinar a atividade da GSH-Px, uma vez que ela é proporcional ao consumo de NADPH. Os dados foram expressos em nmol NADPH/min/mL de Hb.

A atividade da enzima CAT foi avaliada por espectrofotometria UV/VIS, utilizando método de Aebi (1984). O método fundamentou-se na decomposição do H<sub>2</sub>O<sub>2</sub> pela catalase ao longo do tempo, monitorada a 240 nm. Para tanto, o sangue foi diluído 60 vezes em tampão fosfato de potássio 50 mM, pH 7. Uma alíquota de 20 µL foi misturada a 1910 µL do mesmo tampão e 70 µL de H<sub>2</sub>O<sub>2</sub> foram adicionados, dando início à reação. As mudanças na absorbância foram monitoradas por cinco minutos. Os resultados foram expressos em k/gHb/min.

A concentração de TBARS foi utilizado como biomarcador da peroxidação lipídica, por ser considerado o método mais comumente utilizado de acordo com estudo de Ohkawa et al. (1979). Alíquotas de plasma foram acondicionadas em microtubos e a elas adicionou-se 50 µL de NaOH 3N e 50 µL de água ultrapura Milli-

Q (Direct 8, Millipore®) e colocadas em banho (Water Bath 1102, Fanem®) a 60 °C por trinta minutos com agitação, para hidrólise. Foram acrescentadas às amostras 250 µL de H<sub>3</sub>PO<sub>4</sub> 6%, 250 µL de TBA 0,8% e 100 µL de SDS 10%, e levado ao banho 95 °C por uma hora. O MDA reage com o TBA em meio ácido e, após fervura, apresenta uma coloração rosa, lida em espectrofotômetro em comprimento de onda de 532 nm. Para o cálculo da concentração em plasma foi utilizado uma curva de calibração com concentrações pré-definidas de MDA (0,28; 0,56; 1,7; 3,4; 6,6 µM).

#### **4.8 Análise estatística**

Os dados foram expressos como média ± desvio padrão. Foi utilizada a análise de variância de fator único, seguida do teste estatístico de Duan, em que valores de p<0,05 foram considerados significantes. Os resultados foram analisados com o auxílio dos programas Statistica® 8.0 e GraphPad Prism® 6.

## 5 RESULTADOS E DISCUSSÃO

### 5.1 Pesos e medidas

Semanalmente foram realizadas pesagem e medição naso-anal nos três grupos de ratos em tratamento. Além disso, baseado na massa corpórea e comprimento, calculou-se o Índice de Lee, preditor de obesidade em ratos. Os resultados estão apresentados na Tabela 2.

**Tabela 2 - Medidas de massa corpórea (g), comprimento naso-anal (cm) e Índice de Lee dos ratos ao longo dos respectivos tratamentos. Os dados estão expressos como média ± desvio padrão.**

	Controle	Dieta hiperlipídica (DH)	DH + <i>L. edodes</i>
<b>Semana 1</b>			
Massa corpórea (g)	202 ± 28	233 ± 14	228 ± 23
Medida (cm)	18,8 ± 0,8	18,8 ± 0,8	19,5 ± 1,0
Índice de Lee	3,11 ± 0,09	3,17 ± 0,13	3,13 ± 0,11
<b>Semana 2</b>			
Massa corpórea (g)	251 ± 26	270 ± 15	270 ± 6
Medida (cm)	19,5 ± 0,5	19,7 ± 0,5	19,8 ± 1,0
Índice de Lee	3,23 ± 14	3,29 ± 15	3,26 ± 0,16
<b>Semana 3</b>			
Massa corpórea (g)	290 ± 31	306 ± 18	311 ± 8
Medida (cm)	20,5 ± 0,5	20,2 ± 0,4	20,5 ± 0,5
Índice de Lee	3,23 ± 0,12	3,34 ± 0,10	3,28 ± 0,10
<b>Semana 4</b>			
Massa corpórea (g)	314 ± 33	346 ± 21	350 ± 9
Medida (cm)	20,8 ± 0,4	21,0 ± 0,6	21,2 ± 0,4
Índice de Lee	3,26 ± 0,09	3,35 ± 14	3,33 ± 0,06
<b>Semana 5</b>			
Massa corpórea (g)	341 ± 40	372 ± 24	378 ± 11
Medida (cm)	21,0 ± 0	21,3 ± 0,5	21,5 ± 0,5
Índice de Lee	3,32 ± 0,13	3,4 ± 0,09	3,36 ± 0,7

Fonte: elaboração própria.

A dieta hiperlipídica administrada aos grupos 2 e 3 induziu um pequeno aumento na massa corpórea destes animais em relação ao grupo controle. Resultado semelhante ocorreu em relação às medidas de crescimento. Entretanto, essa

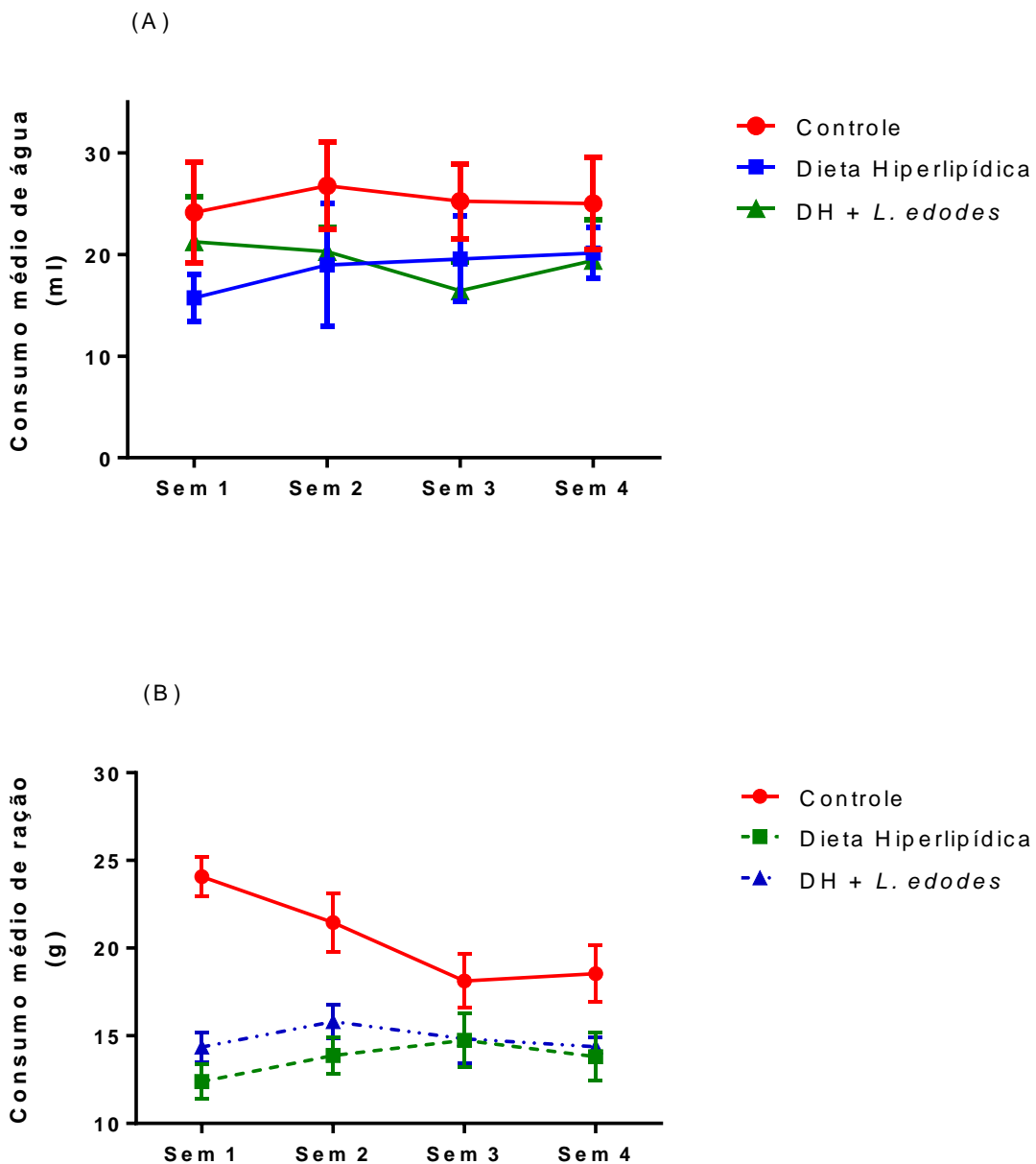
desigualdade, em números absolutos, não apresenta diferença estatística. Assim, o estudo não foi baseado em sobre peso, mas em desordens metabólicas.

Handayani et al. (2011) em estudo com ratos também alimentados com dieta hiperlipídica (50%) avaliaram os efeitos da ingestão de *L. edodes* em pó, porém em doses muito maiores (7g/kg, 20g/kg e 60g/kg/dia, por 6 semanas), que aquelas utilizadas nesse estudo. Os autores identificaram que o grupo de ratos que recebeu maior concentração de *L. edodes* (60g/kg) mostrou ação positiva no controle de peso, evitando o aumento de gordura abdominal, porém apresentou concentração de gordura hepática extremamente elevada, mesmo considerando que o grupo ingeriu a maior dose de *L. edodes*. Nesse estudo, não houve influência do *L. edodes* na massa corpórea dos animais muito provavelmente pela baixa concentração administrada, lembrando, entretanto, que apesar de baixa essa é a dose condizente ao consumo humano.

Monteiro et al. (2014) avaliaram o efeito do extrato de *L. edodes*, em 40 ratos com obesidade induzida, por 4 semanas. Por mais trinta dias os grupos de animais receberam 5% e 10% do cogumelo. Os tratamentos com os extratos induziram redução significativa na massa corporal comparado ao controle. Yoon et al. (2011) administraram dieta contendo 5% *L. edodes* por 42 dias em ratos com hipercolesterolemia induzida. Além de reverter o quadro de colesterolemia e trigliceridemia, o *L. edodes* também reduziu significativamente a massa corporal dos animais.

O consumo de água e de ração foi aferido diariamente, porém, para melhor entendimento, os dados foram agrupados por semana. Os resultados encontram-se na Figura 1A e 1B, representando, respectivamente, o consumo médio de água e o consumo médio de alimento. Apesar de o grupo controle ter aparentemente maior consumo tanto de água bem como de ração, estas diferenças não foram significativas. Assim, tanto dieta hiperlipídica quanto cogumelo *L. edodes* não induziram aumento ou diminuição na procura por água ou alimento.

**Figura 2- Média do consumo de água dos ratos Controle, Dieta Hiperlipídica (DH) e Dieta Hiperlipídica + *L. edodes* (100 mg/kg) durante tratamento. Os dados estão expressos como média ± desvio padrão.**



Fonte: elaboração própria.

## 5.2 Artigo científico

Os demais resultados obtidos nesse estudo e a discussão dessa dissertação estão apresentados no formato de artigo científico, seguindo as “Orientações para apresentação de dissertações do Programa de Pós-Graduação em Ciências

Farmacêuticas da Universidade de Sorocaba". Assim, as seções Resultados e Discussão encontram-se agrupadas no artigo científico, redigido na língua inglesa.

O artigo foi submetido à revista "European Journal of Nutrition" e encontra-se no formato definido pela revista (Anexo C). Dessa forma, as referências também se encontram no padrão da revista.

Sara Rosicler Vieira Spim<sup>1</sup>; Bruna Giovanna Corrêa Chrispim de Oliveira<sup>1</sup>; Fernanda Gomes Leite<sup>1</sup>; Marli Gerenutti<sup>1</sup>, Denise Grotto<sup>1\*</sup>

**Effects of *Lentinula edodes* consumption on biochemical, haematological and oxidative stress parameters in rats receiving high-fat diet**

<sup>1</sup>University of Sorocaba, Laboratory of Toxicological Research - Lapetox, Rodovia Raposo Tavares, Km 92.5, Zip Code 18023-000. Sorocaba, São Paulo State, Brazil.

\*Corresponding author

denise.grotto@prof.uniso.br

Phone: +55 1521017147

Fax: +55 15 21017000

**ACKNOWLEDGEMENT**

The authors are grateful for financial support of Fundação de Amparo à Pesquisa do Estado de São Paulo (FAPESP-2013/05765-5) and Financiadora de Estudos e Projetos (FINEP-01.10.0659.00), and for fellowship of Programa de Suporte à Pós-Graduação de Instituições de Ensino Particulares (PROSUP/CAPES). We also thank Thaisa Borim Pickler for technical support.

1    **Abstract**

2         *Purpose* Functional foods can prevent/reduce the risks related to obesity.  
3         *Lentinula edodes* is a highly nutritive mushroom rich in protein, vitamins and minerals.  
4         Some studies have demonstrated the hypocholesterolemic effects from *L. edodes* in high  
5         doses, which does not represent the consumption in humans. We evaluated ingestion of a  
6         realistic dose of *L. edodes* associated with a high-fat diet (HFD) on hematologic,  
7         biochemical and oxidative-stress parameters.

8         *Methods* Eighteen male Wistar rats were divided into three groups: control  
9         (normal diet); HFD; and HFD + *L. edodes* (100 mg/kg/day). After 30 days, blood was  
10        collected. Biochemical and hematologic parameters were analyzed, as well as oxidative-  
11        stress biomarkers.

12        *Results* The HFD increased levels of total cholesterol and triglycerides. *L. edodes*  
13        reduced these parameters significantly to concentrations found in the control group. The  
14        HFD increased levels of alanine transaminase and aspartate transaminase (markers of  
15        liver damage). *L. edodes* returned the levels of these enzymes to normal levels, and  
16        normalized serum levels of urea (which were also increased owing to consumption of the  
17        HFD). *L. edodes* reduced levels of urea and glucose. Lipid peroxidation was increased in  
18        rats receiving the HFD, and *L. edodes* reduced malondialdehyde levels, thereby  
19        preventing oxidation of fatty acids.

20        *Conclusions* *L. edodes* was shown to have hypolipidemic, hypoglycemic,  
21        hepatoprotective and renoprotective features in doses that are suitable for humans.

22

23        **Keywords:** Nutraceuticals, *Lentinula edodes*, metabolic disorder, oxidative stress,  
24        glucans.

**1 INTRODUCTION**

2       Obesity is a major public-health problem worldwide. Environmental and genetic  
3 factors have important roles in obesity, but inappropriate eating habits and sedentary  
4 lifestyles also contribute [1]. Cavalheira *et al.* [2] stated that excessive ingestion of food  
5 and, consequently, storage of carbohydrate and fat, results in metabolic dysfunction,  
6 which activates innate and adaptive inflammation in adipose tissue. The inflammatory  
7 reaction promotes the resistance to insulin and metabolic diseases caused by obesity [3].

8       Hutcheson and Rocic [4] have hypothesized that the metabolic syndrome is  
9 associated with oxidative stress, which is a risk factor for the development of  
10 cardiovascular diseases. They have suggested that antioxidants can be useful for the  
11 treatment and prevention of cardiovascular diseases in patients with the metabolic  
12 syndrome.

13       Several resources have been used for the prevention and treatment of obesity and  
14 related diseases, including “nutraceuticals” [2]. For example, mushrooms have been used  
15 as food for thousands of years, and have nutritional and medical properties [5,6].  
16 *Lentinula edodes* is a mushroom low in calories and lipids yet rich in proteins, vitamins,  
17 minerals, and fibers [7,8,9].

18        $\beta$ -Glucans are polysaccharides found in the cellular walls of *L. edodes*. They are  
19 bioactive compounds that can activate leukocytes, stimulate the immune system to  
20 produce inflammatory mediators, and have anticarcinogenic activity [10].  $\beta$ -Glucans can  
21 also participate in lipid metabolism to reduce levels of total cholesterol and reduce body  
22 weight [11].

23       *L. edodes* also contains glycoproteins as well as compounds with antioxidant [12],  
24 antitumor [13] and antibiotic activities [14,15]. *L. edodes* has antiviral [16],  
25 antihypertensive [17], antihypercholesterolemic [18,19], hypoglycemic [20,21] and  
26 antithrombotic activities [17,18]. However, many of the studies mentioned were carried  
27 out *in vitro* or with high concentrations of *L. edodes*, which does not correspond with  
28 human consumption.

29       We wished to evaluate the effects of ingestion of *L. edodes* under biochemical,  
30 hematologic and oxidative-stress parameters in rats receiving a high-fat diet (HFD).

31

**32 MATERIALS AND METHODS**

33

**34 Reagents and solutions**

1        Ethyl ether, sulfuric acid, cooper sulfate and potassium, boric acid, hydrochloric  
2        acid (HCl), acetic acid, nitric acid, trichloroacetic acid (TCA), ethylic acid, potassium  
3        hydroxide (KOH), sodium acetate buffer (SAB), Triton X-100, potassium phosphate  
4        buffer (TFK), 5-5-dithiobis(2-nitrobenzoic acid) (DTNB), ethylenediamine tetraacetic  
5        acid (EDTA), reduced glutathione (GSH), glutathione reductase (GR), nicotinamide  
6        adenine dinucleotide phosphate (NADPH), sodium azide, hydrogen peroxide, exo- $\beta$ -1,3-  
7        glucanase,  $\beta$ -glycosidase, glucose-oxidase/peroxidase, amiloglycosides and invertase,  
8        sodium hydroxide (NaOH), malondialdehyde (MDA), thiobarbituric acid (TBA),  
9        phosphoric acid ( $H_3PO_4$ ), sodium dodecyl sulfate (SDS).

10

### 11      **Ethical approval of the study protocol**

12        The study protocol was approved by the Commission of Ethics in the Usage of  
13        Animals of the University of Sorocaba (approval number 008/2012; São Paulo, Brazil).

14

### 15      **Preparation of *L. edodes***

16        *L. edodes* (Berk.) Pegler-cultivated strain H600 (Hokken, Shimotsuga-gun, Japan)  
17        was provided by the commercial company Yuri Cogumelos (São Paulo, Brazil). Fresh  
18        samples of *L. edodes* were sliced and dehydrated in a greenhouse at  $38\pm2^\circ C$ . Material  
19        was ground in a mill to obtain a fine, homogeneous powder and then diluted in water.

20        To verify humidity, samples (4 g) were dried at  $105^\circ C$  until they reached constant  
21        weight. To obtain ashes, 3 g of the sample was carbonized and incinerated at  $550^\circ C$ . For  
22        extraction of lipids, ethyl ether was employed for 6 h [22].

23

### 24      **Nutritional Composition of *L. edodes***

25        Proteins were quantified using a nitrogen distiller following the method of Zhou  
26        *et al.* [23] with some alterations. This method comprised three phases: digestion,  
27        distillation and titration. Digestion was based on oxidation of 70 mg of sample at  $390^\circ C$   
28        with sulfuric acid, cooper sulfate and potassium. In the distiller, the nitrogen in proteins  
29        was reduced to ammonium sulfate. Upon contact with boric acid, the ammonium sulfate  
30        forms ammonium borate, with release of HCl. Centesimal composition of *L. edodes* was  
31        determined by summating the humidity, ashes, lipids, proteins, and carbohydrates [24].

32        Fibers were quantified following the method of McCleary *et al.* [25]. Dry defatted  
33        samples were digested with glacial acetic acid, nitric acid and trichloroacetic acid with  
34        heating for 40 min. Samples were filtered, desiccated, weighed, and washed with boiling

1 water until pH neutralization. Then, samples were washed (alcohol and ether), dried and  
2 incinerated at 550°C until ashes were obtained. The difference between the initial weight  
3 of the sample and the weight of the ashes was the quantity of total fibers.

4 Total glucans were determined using a  $\beta$ -Glucan Assay kit (Yeast & Mushroom;  
5 Megazyme, Bray, Eire). Briefly, *L. edodes* (100 mg) and 1.5 mL of 37% HCl were  
6 incubated for 45 min at 30°C. Volume was adjusted to 10 mL with deionized water  
7 followed by incubation for 2 h. Then, 10 mL of KOH (2 M) was added and sample volume  
8 adjusted to 100 mL with SAB (200 mM, pH 5.0). The solution was centrifuged at 1,500  
9 g for 10 min at room temperature. The supernatant (0.1 mL) was mixed with 0.1 mL of  
10 exo- $\beta$ -1,3-glucanase and  $\beta$ -glycosidase and incubated for 60 min at 40°C. Then, 1.5 mL  
11 of glucose-oxidase/peroxidase was added followed by incubation for 20 min at 40°C.  
12 Absorbance was measured at 510 nm against a blank reagent.

13 For  $\alpha$ -glucans, 0.2 mL of KOH (2 M) was added to 100 mg of sample. After 20  
14 min of agitation, 0.2 mL of aminoglycosides and invertase were added, and incubated for  
15 30 min at 40 °C. Tubes were centrifuged at 1,500 g 10 min at room temperature. To 0.1  
16 mL of supernatant was added 0.1 mL of SAB and 0.3 mL of enzymatic reagent and  
17 incubated for 20 min at 40°C. Absorbance was measured at 510 nm.  $\alpha$ -Glucans were  
18 subtracted from total glucans for quantification of  $\beta$ -glucans.

19

## 20 Animal experiments

21 The dose of *L. edodes* (100 mg/kg) was chosen based on a study from our research  
22 team [26]. A HFD (60% of lipids) [27] and control diet (10% lipids) was used (Table 1).

23 Male Wistar rats ( $45\pm3$  days) were obtained from Anilab (São Paulo, Brazil). They  
24 were maintained individually in cages at the Laboratory of Toxicological Research at a  
25 controlled temperature ( $21\pm2^\circ\text{C}$ ), humidity ( $50\pm5\%$ ) and lighting (12-h light–dark cycle).  
26 Standard rat chow and filtered tap water were provided *ad libitum*. Eighteen rats were  
27 allocated randomly (random number table generated by computer) into three groups of  
28 six: control (standard diet); HFD (60% lipids); HFD + *L. edodes* (100 mg/kg).  
29 Administration of *L. edodes* was by oral gavage at  $<3$  mL/kg body weight. Mushroom  
30 powder was reconstituted in water every day. Rats were treated for 30 days. Rats were  
31 weighed every week. At study end, rats were killed with an overdose of ketamine (100  
32 mg/kg) and xylazine (6 mg/kg). Blood was collected and stored at  $-80^\circ\text{C}$ .

33

## 34 Hematologic parameters

1       Hematologic parameters were measured using a Sysmex XS 1000i™ Hematology  
2 Analyzer (Roche, Basel, Switzerland). Parameters were: white blood cells (WBCs) or  
3 leukocytes; red blood cells (RBCs) or erythrocytes; hemoglobin (Hb); hematocrit; mean  
4 corpuscular volume; mean corpuscular hemoglobin; mean corpuscular hemoglobin  
5 concentration (MCHC); platelets.

6

## 7       **Biochemical profile**

8       Levels of glucose, triglycerides, cholesterol (total and fractions), fructosamine,  
9 and gamma-glutamyl transferase ( $\gamma$ -GT) were evaluated using commercial kits according  
10 to manufacturer (Bioclin (Pretoria, South Africa), inVitro (Placentia, CA, USA), Wiener  
11 Laboratorios (Buenos Aires, Argentina) instructions. Analyses were undertaken on a  
12 spectrophotometer (Lambda 35; PerkinElmer, Waltham, MA, USA).

13       Hepatic enzymes aspartate (aminotransferase (AST), alanine aminotransferase  
14 (ALT)) and renal biomarkers (urea, creatinine) were analyzed on automated equipment  
15 (Cobas C111; Roche).

16

## 17       **Oxidative stress**

18       Determination of reduced glutathione (GSH) levels was based on quantification  
19 of total reduced thiols following the method of Ellman [28]. Briefly, 150  $\mu$ L of blood  
20 maintained in an ice bath was vortex-mixed with 100  $\mu$ L of 10% Triton X100 (10%) and  
21 100  $\mu$ L of 30% trichloroacetic acid. The solution was centrifuged at 4,000 g for 10 min  
22 at 4°C. In the cuvette, 900  $\mu$ L of trifluoromethyl ketone (TFK; 1 M), 50  $\mu$ L of the  
23 supernatant, and 50  $\mu$ L of 5,5'-dithiobis-(2-nitrobenzoic acid) (10 mM) were pipetted and  
24 formed a yellow complex. Absorbance was measured at 412 nm using a  
25 spectrophotometer. To calculate the GSH concentration, a calibration curve with  
26 predefined concentrations of GSH (0.005, 0.01, 0.025, 0.05 and 0.1 mM) was employed.

27       Levels of the antioxidant enzyme glutathione peroxidase (GSH-Px) were  
28 determined based on the oxidation of the reduced form of nicotinamide adenine  
29 dinucleotide phosphate (NADPH) following the method of Paglia and Valentine [29].  
30 Blood was diluted (1:40) in TFK (pH 7.0). Then, 20  $\mu$ L of the diluted sample was added  
31 to 880  $\mu$ L of a solution containing GSH, glutathione reductase, NADPH, sodium azide and  
32 100  $\mu$ L of hydrogen peroxide ( $H_2O_2$ ). GSH-Px level was monitored in a  
33 spectrophotometer at 340 nm for 2 min.

1        Measurement of catalase levels followed the method of Aebi [30], which is based  
2    on H<sub>2</sub>O<sub>2</sub> decomposition by catalase at 240 nm. Briefly, blood was diluted (1:60) in TFK  
3    50 mM. An aliquot of 20 µL was mixed to 1910 µL of TFK, and 70 µL of H<sub>2</sub>O<sub>2</sub> was  
4    added, thereby initiating a reaction that was monitored for 5 min. A constant of variation  
5    (k), which is related to Hb, was used to obtain a value for blood activity (k/g Hb).

6        Malondialdehyde (MDA) is an important product of lipid peroxidation [31].  
7    Plasma aliquots (150 µL) were mixed with 50 µL of NaOH and 50 µL of Milli-Q Water™  
8    (Millipore, Billerica, MA, USA). The mixture was incubated for 20 min at 60°C with  
9    agitation. Then, 6% H<sub>3</sub>PO<sub>4</sub> (250 µL), 0.8% thiobarbituric acid (TBA; 250 µL) and 100  
10   µL of 10% sodium dodecyl sulfate were added to samples, which were bathed for 1 h at  
11   80°C. MDA reacted with TBA in acidic conditions to form a pink substance, the  
12   absorbance of which was read at 532 nm in a spectrophotometer. A calibration curve was  
13   used (predefined concentrations of 0.28, 0.56, 1.7, 3.4 and 6.6 µM) to calculate the  
14   concentration of Thiobarbituric Acid Reactive Substances (TBARS) in plasma.

15

## 16    **Statistical analyses**

17       Data are the mean ± standard deviation. Results were analyzed using one-way  
18   analysis of variance followed by Duncan's test to identify differences among groups. A  
19   value of p<0.05 was considered significant. Results were analyzed using Statistica v8.0  
20   (Dell, Round Rock, TX, USA) and GraphPad Prism v6.0 (San Diego, CA, USA).

21

## 22    **RESULTS**

23

### 24    **Nutritional composition of *L. edodes***

25       Nutritional composition of *L. edodes* was based on dry weight (with the exception  
26   of humidity analyses) and is shown in Table 2 (which also shows the nutritional  
27   composition of other mushroom types).

28

### 29    **Body weight**

30       Rat weights are presented in Figure 1. Besides lipid content, the HFD administered  
31   to the two treatment groups caused a significant increase in body weight just in weeks 3  
32   and 4 compared to control (p=0.03 and p=0.043 in HFD; p=0.023 and p=0.049 in HFD +  
33   *L. edodes*, respectively). On the other hand, oral administration *L. edodes* (100 mg/kg)

1 for 30 days was not sufficient to reduce body weight compared to HFD group ( $p=0.68$ ;  
2 0.98; 0.67; 0.81; 0.97 in week 0, 1, 2, 3 and 4, respectively).

3

#### 4 **Hematologic parameters**

5 Data for hematologic parameters are shown in Table 3. The group receiving a  
6 HFD + *L. edodes* displayed a significant increase in the number of WBCs compared with  
7 the control group ( $p = 0.026$ ). The MCHC showed a significant ( $p=0.041$ ) increase in the  
8 HFD group compared with the control group. Values for RBC and platelet counts, as well  
9 as those for hemoglobin, hematocrit, mean corpuscular volume, and mean corpuscular  
10 hemoglobin, did not show significant differences among the three groups. Hence, apart  
11 from WBC count, a HFD and co-exposure of *L. edodes* did not modify hematologic  
12 parameters.

13

#### 14 **Liver function**

15 Rats receiving the HFD had a significant increase in levels of ALT ( $p=0.0001$ ;  
16  $p=0.0002$ ) and AST ( $p=0.003$ ;  $p=0.002$ ) compared with the control group and HFD + *L.*  
17 *edodes* group, respectively (Fig. 2A). In animals who received *L. edodes*, the hepatic  
18 enzymes were preserved, without differences compared to control ( $p=0.61$  to ALT;  
19  $p=0.97$  to ALT). There were no significant differences in  $\gamma$ -GT levels among groups when  
20 compared to control ( $p=0.53$ ;  $p=0.09$ ).

21

#### 22 **Kidney function**

23 Urea levels were increased in the group receiving a HFD in comparison with the  
24 control group ( $p=0.047$ ) (Fig. 2B). There was no significant difference in creatinine levels  
25 among the study groups ( $p=0.68$ ;  $p=0.72$ , compared to control). Urinary glucose levels in  
26 the group receiving a HFD did not show a significant difference in comparison with the  
27 control group ( $p=0.73$ ). Animals that consumed a HFD + *L. edodes* had reduced urinary  
28 glucose levels compared with the control group ( $p=0.044$ ), suggesting that *L. edodes* has  
29 a hypoglycemic action.

#### 30 **Lipid profile**

31 A significant increase in levels of total cholesterol ( $p=0.027$ ) and triglycerides  
32 ( $p=0.042$ ) were noted in the group receiving the HFD compared with that of the control  
33 group. In animals receiving a HFD + *L. edodes*, levels of cholesterol and triglycerides did  
34 not show a significant difference compared with those of the control group ( $p=0.59$ ;

1 p=0.08, respectively), thereby suggesting a hypocholesterolemic action from *L. edodes*  
2 (Fig. 3A). Furthermore, *L. edodes* administration contributed to a reduction in the level  
3 of very-low-density lipoprotein (p=0.002 when compared to HFD group) and an increase  
4 in those of high-density lipoprotein (HDL) compared to control (p=0.01) and HFD group  
5 (p=0.03). These effects could be attributed to the high concentration of fibers and β-  
6 glucans in *L. edodes*.

7

### 8 **Glycemic profile**

9 The fructosamine concentration (Fig. 3B) was not significantly different among  
10 the three groups (p=0.27; 0.73, compared to control). The serum concentration of glucose  
11 (Fig. 3C) was reduced significantly in the HFD + *L. edodes* group compared with the  
12 HFD group (0.043). These findings suggested a hypoglycemic action arising from β-  
13 glucans.

14

### 15 **Oxidative stress**

16 The HFD increased TBARS levels significantly compared with those of the  
17 control group (p=0.02) and *L. edodes* group (p=0.006) (Fig. 4A). Nevertheless, the *L.*  
18 *edodes* group had decreased TBARS levels similar to those of the control group (p=0.45).  
19 No significant differences were observed among the groups with respect to catalase (Fig.  
20 4B) (p>0.38), reduced GSH (Fig. 4C) (p>0.43) or GSH-Px (Fig. 4D) (p>0.11).

21

## 22 **DISCUSSION**

23 Our findings for the nutritional composition of *L. edodes* exhibited similarities  
24 and differences compared with those from other studies. Differences in the concentrations  
25 of macronutrients are dependent upon the location, substrate, weather, crop conditions,  
26 phase of growing, and harvest of mushrooms [35]. Díez and Alvarez [36] found a high  
27 concentration of fibers (45% in dry weight) in wild mushrooms. Reis *et al.* [33] found  
28 lower concentrations of ashes, proteins and carbohydrates, but they used fresh samples.  
29 When we compared the findings from the study by Regula and Siwulski [8] with our data,  
30 a close similarity was noted.

31 We found high concentrations of β-glucans that were comparable with those  
32 observed by Bak *et al.* [37] (29.7–56.5 %) in 10 crops of *L. edodes*. Brauer and colleagues  
33 observed, in extracts and lyophilized samples of *L. edodes*, 5.0% and 5.6% of β-glucans,  
34 respectively [38]. Manzi *et al.* [39] found 13.9–66.6% of β-glucans in samples of

1 *Pleurotus ostreatus*. Those studies and our study show the wide variation of  
2 concentrations of bioactive compounds due to differences in cultivation and species.

3 Handayani *et al.* [40] evaluated the effects of ingestion of powdered *L. edodes* (7,  
4 20 and 60 g/kg) based on the corporeal weight of rats. Animals received a HFD (50%)  
5 during 6 weeks, along with mushrooms. The group receiving the higher dose of *L. edodes*  
6 (60 g/kg) gained less corporeal weight in comparison with all other groups. Despite those  
7 results, the consumption reported does not match realistic consumption of mushrooms in  
8 humans.

9 WBCs are part of the immune system and are involved in platelet formation.  
10 Increases in WBC count can be related to: (i) activation of inflammation from excessive  
11 consumption of lipids; and (ii) stimulation of the immune system by *L. edodes* [41,42].  
12 β-Glucans could activate the hematopoietic system.

13 Harada *et al.* [43] made rats eat extracts of β-glucans from mushrooms to induce  
14 leukopenia. They noted improvement in the hematopoietic system, suggesting that this  
15 extract could contribute to the increase in production and maturation of thymocytes  
16 [43,44], results that were corroborated by our study. β-Glucans could activate the  
17 hematopoietic system.

18 The MCHC was increased significantly in the HFD group compared with the  
19 control group. The high concentration of fat could have caused an increase in the level of  
20 hemoglobin, causing blood thickening [45]. Tai *et al.* [46] evaluated the hematologic  
21 effects of ingestion of four sources of lipids: soy oil (40%), palm oil, vegetable fat and  
22 soy oil (10%; control). They found that the MCHC decreased in groups that received  
23 vegetable fat and soy oil (40%) in relation to the control. Increases in the viscosity of  
24 blood, serum, and plasma in the three study groups were also observed. Hence, the lipid  
25 source can influence some hematologic parameters.

26 Levels of ALT and AST in blood can be increased if the metabolism of the liver  
27 is compromised or if the liver is injured. Such increases in transaminase levels are very  
28 useful markers for liver function [47,48]. In the present study, a HFD increased ALT  
29 levels by 74% compared with the control group. *L. edodes* reduced levels of this enzyme  
30 by 63%. A HFD increased AST levels by 20% compared with the control group, and *L.*  
31 *edodes* reduced AST levels by 20%.

32 Chung *et al.* [49] evaluated exposure to *L. edodes* extract (250 mg/kg) on the  
33 hepatic injury induced by consumption of ammonium chlorite and alcohol. After 12  
34 weeks of rats receiving *L. edodes* a significant reduction in levels of ALT and AST were

1 noted, along with a reduction in inflammation, necrosis, and fatty deposition in liver  
2 tissue. The high levels of these two enzymes in blood signify disruption to hepatocyte  
3 membranes. Hepatic steatosis (as shown by increased levels of saturated fatty acids)  
4 induces liver damage, which results in high levels of AST and ALT in blood [50].

5 In the present study, the main reason for increases in urea levels is the kidney  
6 damage triggered by excessive amounts of lipids, which hinders blood filtration (Fig. 2B).  
7 Urea and creatinine are sensitive markers of early damage to the kidneys [51]. *L. edodes*  
8 acted to reduce urea levels and protect the kidneys. The renal system has fundamental  
9 roles in the regulation of liquids and electrolytes, as well as in elimination of metabolic  
10 byproducts, to ensure corporeal homeostasis [52].

11 To verify the renoprotective properties of *Inonotus obliquus* (dried and  
12 fermented), researchers induced diabetes in rats using streptozotocin. Results showed  
13 reductions in urea levels in groups eating *I. obliquus* compared with the control group  
14 [53], data that corroborate our findings. In another study, a methanolic extract of  
15 *Ganoderma lucidum* was evaluated against the nephrotoxicity induced by cisplatin [54].  
16 After treatment with *G. lucidum*, concentrations of creatinine and urea decreased  
17 significantly, thereby denoting kidney protection by ingestion of this mushroom.  
18 Moreover, Vaidya *et al.* [51] investigated the possible protective effect of powdered *L.*  
19 *edodes* (5%, 10%) against the kidney injuries induced by carbon tetrachloride (CCl<sub>4</sub>). *L.*  
20 *edodes* showed significant protection against kidney dysfunction by normalizing serum  
21 levels of urea and creatinine.

22 Fukushima *et al.* [55] detailed hypcholesterolemic effects that were similar to  
23 our findings. Upon feeding of isolated fibers of *L. edodes* to rats, the concentration of  
24 total cholesterol was reduced from 11% to 25% in comparison with the control group.  
25 Similarly, Yoon *et al.* [56] administered 5% *L. edodes* in powder form for 42 days to  
26 hypercholesterolemic rats and found reductions in levels of triglycerides and cholesterol,  
27 findings that are in accordance with our data. However, the concentration of *L. edodes*  
28 used by Yoon and colleagues was very high, and not consistent with ingestion in humans.

29 Hyperlipidemia is the principal risk factor for atherosclerosis. In excess, low-  
30 density lipoprotein (LDL) is deposited in the walls of blood vessels and becomes an  
31 important component to platelet injuries. HDL facilitates translocation of cholesterol  
32 from peripheral tissue (arterial walls) to be catabolized in the liver [56]. Reduction of  
33 LDL levels and inhibition of the activity of 3-hidroxi-3-methyl-glutaril-CoA reductase  
34 could be associated with hypcholesterolemia [18,57]. Yang *et al.* [58] used 5%, 10%

1 and 20% *L. edodes* (from total ingestion of food) to feed rats with hypercholesterolemia.  
2 The hypocholesterolemic effect was proportional to the increase in percentage of *L.*  
3 *edodes* administered. Authors have proposed that such action is due to eritadenine and  $\beta$ -  
4 glucans in mushrooms. Viscosity and gel-formation properties of  $\beta$ -glucans facilitate fat  
5 excretion to reduce the time cholesterol is present in the organism, and thus diminish its  
6 absorption [59].

7 Mircea *et al.* [20] evaluated the effects of three species of fungi, two edible (*P.*  
8 *ostreatus* and *Agaricus bisporus*) and one parasitic (*Fomes fomentarius*)—extracts and  
9 powders—on levels of glucose and cholesterol. The hypoglycemic effect was more  
10 pronounced in groups treated with extracts, whereas groups treated with powder had  
11 better results for hypocholesterolemia. This hypoglycemic action could be attributed to  
12 certain substances that are similar to insulin being present in mushroom extracts, or even  
13 by compounds that can increase glucose utilization by blood cells [19,21].

14 MDA is a secondary product of lipid peroxidation and is used widely as an  
15 indicator of damage to cells and tissues. Lipid peroxidation is involved in the oxidative  
16 degradation of polyunsaturated fatty acids [60]. The diet given to rats was rich in lipids,  
17 so the increase in levels of total cholesterol and triglyceride was related to the increase in  
18 TBARS levels. Conversely, *L. edodes* could decrease lipid peroxidation levels to those  
19 seen in the control group, suggesting an antioxidant action of *L. edodes* that prevents  
20 oxidation of fatty acids.

21 Jayakumar *et al.* [60] evaluated the effects of rats exposed to CCl<sub>4</sub> and/or an  
22 extract of *P. ostreatus* for 5 days. They noticed a considerable increase in MDA levels in  
23 rats exposed only to CCl<sub>4</sub>. The group co-exposed to CCl<sub>4</sub> and *P. ostreatus* had a  
24 significant reduction in MDA concentrations, suggesting an antioxidant action from *P.*  
25 *ostreatus* that decreased oxidative damage to tissue. In contrast, Kanagasabapathy *et al.*  
26 [61] evaluated the effects of rats treated with a HFD and three doses of *Pleurotus sajor-*  
27 *caju*. They observed a significant reduction in lipid peroxidation and an increase in levels  
28 of catalase and GPx. Acharya *et al.* [62] evaluated the effects of exposure of an extract of  
29 *Macrocybe gigantea* in CCl<sub>4</sub>-induced hepatotoxicity in rats. They noted an increase in  
30 lipid peroxidation, and decreases in levels of catalase and GSH, in the group treated with  
31 CCl<sub>4</sub>. Antioxidant status in the liver was restored upon administration of the extract of *M.*  
32 *gigantean*, which was proposed to be a potent scavenger of free radicals.

33

34 **CONCLUSIONS**

1        This is the first study to report on the different parameters associated with HFD  
2    ingestion and *L. edodes*. The most important finding was the dose of *L. edodes* that is  
3    suitable for human consumption. HFD consumption induced alterations in the lipid  
4    profile, hepatic function, renal function, and lipid peroxidation. *L. edodes* was shown to  
5    be a good nutraceutical against metabolic disorders through its hypocholesterolemic  
6    action as well as its ability to increase HDL levels, restore the concentration of urea to  
7    normal levels, decrease levels of transaminases, and stimulate the immune system (by  
8    increasing the WBC count). *L. edodes* protected against the oxidative damage induced by  
9    excessive ingestion of lipids, thereby suggesting an antioxidant effect.

10       Bioactive properties of *L. edodes* can be attributed to the high concentrations of  
11     $\beta$ -glucans and fibers. Thus, even though *L. edodes* does not aid weight loss, it could be  
12    an excellent nutritional source in food supplements (especially in metabolic disorders  
13    associated with high consumption of fat).

14

15

16 **FUNDING SOURCES**

17       Fundação de Amparo à Pesquisa do Estado de São Paulo (FAPESP-2013/05765-  
18    5); Financiadora de Estudos e Projetos (FINEP-01.10.0659.00).

**1    CONFLICT OF INTEREST**

2              The authors declare that they have no conflict of interest.  
3

**References**

1. Landsberg L, Aronne LJ, Beilin LJ *et al.* (2013) Pathogenesis, Cardiovascular Risk,  
2 and Treatment- A Position Paper of The Obesity Society and the American Society of  
3 Hypertension. *Obesity*. 2:8-24. doi:10.1002/oby.20181.
4. Carvalheira JBC, Qiu Y, Chawla A (2013) Blood spotlight on leukocytes and obesity.  
5 Am Soc Hematology. 122:3263-3267. doi:10.1182/blood-201304-459446.
6. WHO (2013) World Health Organization, Fact sheet N°311. Disponível em  
7 <http://www.who.int/mediacentre/factsheets/fs311/en/>. Acesso em 29 de março de 2014.
8. Hutcheson R, Rocic P (2012) The Metabolic Syndrome, Oxidative Stress,  
9 Environment, and Cardiovascular Disease: The Great Exploration. *Experimental*  
10 *J Diabetes Res.* doi:10.1155/2012/271028.
11. Roupas P, Keogh J, Noakes M *et al.* (2012) The role of edible mushrooms in health:  
12 Evaluation of the evidence. *J Funct Foods*. 4:687-709. doi:10.1016/j.jff.2012.05.003.
13. Israilides C, Kletsas D, Arapoglou D *et al.* (2008) In vitro cytostatic and  
14 immunomodulatory properties of the medicinal mushroom *Lentinula edodes*.  
15 *Phytomedicine*. 15:512-519. doi: 10.1016/j.phymed.2007.11.029.
16. Wani BA, Bodha RH, Wani AH. (2010) Nutritional and medicinal importance of  
17 mushrooms. *JMPR*. 4:2598-2604. doi:10.5897/JMPR09.565.
18. Regula J, Siwulski M (2007) Dried shiitake (*Lentinula edodes*) and oyster (*pleurotus*  
19 *ostreatus*) mushrooms as a good source of nutrient. *Acta Sci Pol Technol Aliment*. 6:135-  
20 142.
21. Nile SH, Park W (2014) Total, Soluble, and Insoluble Dietary Fiber Contents of Wild  
22 Growing Edible Mushrooms. *Czech J Food Sci*. 32:302–307.
23. Rop O, Mlcek J, Jurikova T (2009) Beta-glucans in higher fungi and their health  
24 effects nure. *Nutr Rev*. 67:624-631. doi:10.1111/j.1753-4887.2009.00230.
25. Giavasis L (2014) Bioactive fungal polysaccharides as potential functional  
26 ingredients in food and nutraceuticals. *Curr Opin Chem Biol*. 26:162–173.  
27 doi:10.1016/j.copbio.2014.01.010.
28. Ferreira ICFR, Barros L, Abreu RMV (2009) Antioxidants in Wild Mushrooms. *Curr*  
29 *Med Chem*. 16:1543-1560.
30. Hazama S, Watanabe S, Ohashi M *et al.* (2009) Efficacy of Orally Administered  
31 Superfine Dispersed Lentinan ( $\beta$ -1,3-Glucan) for the Treatment of Advanced Colorectal  
32 Cancer. *Anticancer Res*. 29:2611-2618.

- 1 14. Attitalla IH (2011) *Lentinus sp.* RJ-2 Mushroom is Important Source of Natural  
2 Antioxidative Polysaccharides. PJBS 14:1070-1071. doi:10.3923/pjbs.2011.1070.1071.
- 3 15. Kitzberger CSG, Smânia Jr. A, Pedrosa RC *et al.* (2007) Antioxidant and  
4 antimicrobial activities of shiitake (*Lentinula edodes*) extracts obtained by organic  
5 solvents and supercritical fluids. J Food Eng. 80:631–638. doi:10.1016/j.jfoodeng.  
6 2006.06.013.
- 7 16. Rincão VP, Yamamoto KA, Ricardo NMPS *et al.* (2012) Polysaccharide and extracts  
8 from *Lentinula edodes*: structural features and antiviral activity. Virology 9:37.  
9 doi:10.1186/1743-422X-9-37.
- 10 17. Guillamón E, García-Lafuente A, Lozano M *et al.* (2010) Edible mushrooms: Role in  
11 the prevention of cardiovascular diseases. Fitoterapia 81:715-723.  
12 doi:10.1016/j.fitote.2010.06.005.
- 13 18. Alam N, Yoon KN, Lee TS *et al.* (2011) Hypolipidemic Activities of Dietary  
14 *Pleurotus ostreatus* in Hypercholesterolemic Rats. Mycobiology. 39:45-51. doi:10.4489/  
15 MYCO.2011.39.1.045.
- 16 19. Zhu M, Nie P, Liang Y, Wang B (2013) Optimizing conditions of polysaccharide  
17 extraction from *shiitake* mushroom using response surface methodology and its  
18 regulating lipid metabolism. Carbohydr Polym. 95:644-648. doi:10.1016/j.carbpol.  
19 2013.03.035
- 20 20. Mircea C, Bild V, Zavastin D (2013) The protective effect of mushrooms in  
21 experimentally induced diabetes in Mice. Farmacia 61:268-275.
- 22 21. Fortes RC, Recôva VL, Melo AL *et al.* (2008) Effects of dietary supplementation with  
23 medicinal fungus in fasting glycemia levels of patients with colorectal cancer: a  
24 randomized, double-blind, placebo-controlled clinical study. Nutr Hosp. 23:591-598.
- 25 22. Araujo GS, Matos LJBL, Fernandes JO *et al.* (2013) Extraction of lipids from  
26 microalgae by ultrasound application: Prospection of the optimal extraction method.  
27 Ultrason Sonochem. 20:95-98. doi:10.1016/j.ultsonch.2012.07.027.
- 28 23. Zhou N, Li W, Wu Z et al (2015) Sequential extractions: A new way for protein  
29 quantification data from peanut allergens. Anal Biochem. 484:31-36. doi:10.1016/j.ab.  
30 2015.05.013.
- 31 24. Pinela J, Barros L, Carvalho AM *et al.* (2012) Nutritional composition and antioxidant  
32 activity of four tomato (*Lycopersicon esculentum L.*) farmer' varieties in Northeastern  
33 Portugal homegardens. Food Chem Toxicol. 50:829-834. doi:10.1016/j.fct.2011.11.045.

- 1 25. McCleary BV, Devries JW, Plymouth AN et al (2010) Determination of Total Dietary  
2 Fiber (CODEX Definition) by Enzymatic-Gravimetric Method and Liquid  
3 Chromatography: Collaborative Study. J AOAC. 93:221-233.
- 4 26. Grotto D, Gerenucci M, Souza VCO et al. (2015) Deficiency of macro-and  
5 micronutrients induced by *Lentinula edodes*. Toxicology Reports. 2:401–404.  
6 doi:10.1016/j.fct.2011.11.045.
- 7 27. Fraulob JC et al. (2010) A mouse model of metabolic syndrome: insulin resistance,  
8 fatty liver and non-alcoholic fatty pancreas disease (NAFPD) in C57BL/6 mice fed a high  
9 fat diet. J Clin Biochem Nutr. 46:212-223. doi:0.3164/jcbn.09-83.
- 10 28. Ellman GL (1959) Tissue sulfhydryl groups. Arch Biochem Biophys. 82:70-77.  
11 doi:10.1016/0003-9861(59)90090-6.
- 12 29. Paglia DE, Valentine WN (1967) Study on the quantitative and qualitative characterization of erythrocyte glutathione peroxide. J Lab Clin Med. 70:158-69.
- 13 30. Aebi H (1984) Catalase in vitro. Methods Enzymol. 105:121-126. doi:10.1016/  
14 S0076-6879(84)05016-3.
- 15 31. Ohkawa H, Ohishi N, Yagi K (1979) Assay for lipid peroxides in animal tissues by  
16 Thiobarbituric Acid reaction. Anal Biochem. 95:351-358.
- 17 32. Mattila P, Vaananen PS, Konko K et al. (2002) Basic Composition and Amino Acid  
18 Contents of Mushrooms Cultivated in Finland. J Agric Food Chem. 50:6419-6422.
- 19 33. Reis FS, Barros L, Martins A et al. (2012) Chemical composition and nutritional value  
20 of the most widely appreciated cultivated mushrooms: an inter-species comparative  
21 study. Food Chem Toxicol. 50:191-7. doi:10.1016/j.fct.2011.10.056.
- 22 34. Gaitán-Hernández R, Esqueda M, Gutiérrez A et al. (2006) Bioconversion of  
23 agrowastes by *Lentinula edodes*: the high potential of viticulture residues. Appl Microbiol  
24 Biot. 71:432–439. doi:10.1007/s00253-005-0241-1.
- 25 35. Brauer D, Kimmons TE, Phillips M et al. (2011) Starch Concentrations in Log-Grown  
26 Shiitake Mushrooms (*Lentinula edodes* (Berk.) Pegler). TOMYCJ. 5:1-7. doi:10.2174/  
27 1874437001105010001.
- 28 36. Diez VA, Alvarez A (2001) Compositional and nutritional studies on two wild edible  
29 mushrooms from northwest Spain. Food Chem. 75:417-422. doi:10.1016/S0308-8146  
30 (01)00229-1.
- 31 37. Bak WC, Park JH, Park YA et al. (2014) Determination of Glucan Contents in the  
32 Fruiting Bodies and Mycelia of *Lentinula edodes* Cultivars. Mycrobiology. 42:301-304.  
33 doi.org/10.5941/MYCO.2014.42.3.301.

- 1 38. Brauer D, Kimmons T, Phillips M (2007) Comparison of Two Methods for the  
2 Quantitation of 13-Glucans from Shiitake Mushrooms. *J Herbs Spices Med Plants.*  
3 13:15-26. doi:10.13005044v13n03.02.
- 4 39. Manzi P, Aguzzi A, Pizzoferrato L (2001) Nutritional value of mushrooms widely  
5 consumed in Italy. *Food Chem.* 73:321–325. doi:10.1016/S0308-8146(00)00304-6.
- 6 40. Handayani, D, Chen J, Meyer BJ *et al* (2011) Dietary Shiitake Mushroom (*Lentinus*  
7 *edodes*) Prevents Fat Deposition and Lowers Triglyceride in Rats Fed a High-Fat Diet. *J*  
8 *Obes.* 2011;1-8. doi:10.1155/2011/258051.
- 9 41. Ellinger VCM, Carlini LT, Moreira RO *et al.* (2006) Relation between insulin  
10 resistance and hematological parameters in a brazilian sample. *Arq Bras Endocrinol*  
11 *Metabol.* 50:114-117. doi.org/10.1590/S0004-27302006000100016.
- 12 42. Barazzoni R, Cappellari GG, Semolic A *et al.* (2014) The association between  
13 hematological parameters and insulin resistance Is modified by body mass index results  
14 from the North-East Italy MoMa population study. *PLOS One.* 9:101590. doi: 10.1371/  
15 journal.pone.0101590.
- 16 43. Harada T, Miura N, Adachi Y *et al.* (2002) Effect of SCG, 1,3-b-D-Glucan from  
17 sparassis crispa on the hematopoietic response in cyclophosphamide induced leukopenic  
18 mice. *Biol Pharm Bull.* 25:931-939. doi:org/10.1248/bpb.25.931.
- 19 44. Pini M, Gove ME, Sennello JA *et al.* (2008) Role and regulation of adipokines during  
20 zymosan-induced peritoneal inflammation en mice. *Endocrinology.* 149:4080-4085.  
21 doi.org/10.1210.
- 22 45. Hernández GN, Dabin C, Gayol del C *et al.* (2002) Haemorheological Variables in a  
23 Rat Model of Hypertriglyceridaemic Obesity and Diabetes. *Vet Res Commun.* 26:625-  
24 635.
- 25 46. Tai CJ, Chen CH, Chen HH *et al.* (2010) Differential effect of high dietary fat intakes  
26 on haemorheological parameters in rat. *Br J Nutr.* 103:977–983. doi:10.1017/S  
27 0007114509992704.
- 28 47. Schindhelm RK, Diamant M, Dekker JM *et al.* (2006) Alanine aminotransferase as a  
29 marker of non-alcoholic fatty liver disease in relation to type 2 diabetes mellitus and  
30 cardiovascular disease. *Diabetes Metab Res Ver.* 22:437–443. doi:10.1002/dmr.666.
- 31 48. Akamatsu S, Watanabe A, Tamesada M *et al.* (2004) Biol Hepatoprotective Effect of  
32 Extracts from *Lentinus edodes* Mycelia on Dimethylnitrosamine-Induced Liver Injury.  
33 *Pharm Bull.* 27:1957-1960. doi:org/10.1248/bpb.27.1957.

- 1 49. Chung WS, Huawang J, Bose S *et al.* (2015) Hepatoprotective Effect of *Lentinus*  
2 *edodes* Mycelia Fermented Formulation Against Alcoholic Liver Injury in Rats. *J Food*  
3 *Biochem.* 1-12. doi:10.1111/jfbc.12124.
- 4 50. Wang D, Wei Y, Pagliassotti MJ (2006) Saturated Fatty Acids Promote Endoplasmic  
5 Reticulum Stress and Liver Injury in Rats with Hepatic Steatosis. *Endocrinology* 943-  
6 951. doi.org/10.1210/en.2005-0570.
- 7 51. Vaidya VS, Ramirez V, Ichimura T *et al.* (2006) Urinary kidney injury molecule-1:  
8 a sensitive quantitative biomarker for early detection of kidney tubular injury. *Am J*  
9 *Physiol Renal Physiol.* 290:517-529. doi:10.1152/ajprenal.00291.2005.
- 10 52. Alam N, Amin R, Khan A *et al.* (2009) Comparative Effects of Oyster Mushrooms  
11 on Lipid Profile, Liver and Kidney Function in Hypercholesterolemic Rats.  
12 *Mycobiology.* 37:37-42. doi:10.4489/MYCO.2009.37.1.037.
- 13 53. Cha JY, Jun BS, Lee CH *et al.* (2005) Hypoglycemic and antioxidative effects of  
14 fermented Chaga Mushroom (*Inonotus obliquus*) on streptozotocin-induced diabetic rats.  
15 *J Life Science.* 15:809-818. doi: 10.5352/JLS.2005.15.5.809.
- 16 54. Sheena N, Ajith TA, Janardhanan KK (2003) Prevention of nephrotoxicity induced  
17 by the anticancer drug cisplatin, using *Ganoderma lucidum*, a medicinal mushroom  
18 occurring in South India. *Curr Sci.* 85:478-482.
- 19 55. Fukushima M, Ohashi T, Fujiwara Y *et al.* (2001) Cholesterol-Lowering Effects of  
20 Maitake (*Grifola frondosa*) Fiber, Shiitake (*Lentinus edodes*) Fiber, and Enokitake  
21 (*Flammulina velutipes*) Fiber in Rats. *Exp Biol Med.* 226:758-765. doi:0037-9727/01/  
22 2268-0000\$15.00.
- 23 56. Yoon KN, Alam N, Lee JS *et al.* (2011) Antihyperlipidemic Effect of Dietary *Lentinus*  
24 *edodes* on Plasma, Feces and Hepatic Tissues in Hypercholesterolemic Rats.  
25 *Mycobiology.* 39:96-102. doi:10.4489/MYCO.2011.39.2.096.
- 26 57. Alam N, Yoon KN, Lee TS *et al.* (2011) Hypolipidemic Activities of Dietary  
27 *Pleurotus ostreatus* in Hypercholesterolemic Rats. *Mycobiology.* 39:45-51.
- 28 58. Yang H, Hwang I, Kim S *et al.* (2013) *Lentinus edodes* promotes fat removal in  
29 hypercholesterolemic mice. *Exp Ther Med.* 6:1409-1413. doi:10.3892/etm. 2013.1333.
- 30 59. Novak M, Vetvicka V. (2008) Beta-Glucans, History, and the Present:  
31 Immunomodulatory Aspects and Mechanisms of Action. *J Immunotoxicol.* 5:47-57.  
32 doi:10.1080/15476910802019045.

- 1    60. Jayakumar T, Ramesh E, Geraldine P. (2006) Antioxidant activity of the *oyster*  
2    mushroom, *Pleurotus ostreatus*, on CCl<sub>4</sub>-induced liver injury in rats. Food Chem  
3    Toxicol. 44:1989–1996.
- 4    61. Kanagasabapathy G, Malek NA, Mahmood AA *et al.* (2013) Beta-Glucan-Rich  
5    Extract from *Pleurotus sajor-caju* (Fr.) Singer Prevents Obesity and Oxidative Stress in  
6    C57BL/6J Mice Fed on a High-Fat Diet. Hindawi. 1-10, ID 185259. doi.org/  
7    10.1155/2013/185259.
- 8    62. Acharya K, Chatterjee S, Biswas G *et al.* (2012) Hepatoprotective effect of a wild  
9    edible mushroom on carbon tetrachloride-induced hepatotoxicity in mice. Int J Pharm  
10   Pharm Sci. 4:285-288.

**Figure captions**

**Fig 1** Rats body mass (g) in Control group, high-fat diet (HFD) and HFD + *L. edodes* 100 mg/kg through the weeks of the treatment. Data are expressed as mean ± standard deviation

**Fig 2** In A, liver function (ALT - Alanina Transaminase; AST - Aspartato Transaminase; γ-GT - Gama Glutamil Transferase). In B, kidney function of rats treated for 30 days with Standard diet (Control), High-fat diet (HFD) and HFD + *L. edodes* 100 mg/kg. Data are expressed as mean ± standard deviation

**Fig 3** In A) Lipid profile (COL - Cholesterol; TRIGL - triglycerides; HDL - High Density Lipoproteins; VLDL - Very Low Density Lipoprotein; LDL - Low Density Lipoproteins). In B and C) Glycemic profile of rats after 30 days receiving Standard diet (Control group), High-fat Diet (HFD) and HFD + *L. edodes* 100 mg/kg. Data are expressed as mean ± standard deviation

**Fig 4** Oxidative stress biomarkers of rats treated for 30 days with Standard diet (Control), High-fat diet (HFD) and HFD + *L. edodes* 100 mg/kg. Data are expressed as mean ± standard deviation

**Table 1** Composition and energy content of the standard diet and high-fat diet, according to Fraulob *et al.* [27]

Components (g/kg)	Standard diet	High-fat diet
<b>Casein</b>	140	190
<b>Cornstarch</b>	620.7	250.7
<b>Sucrose</b>	100	100
<b>Soybean oil</b>	40	40
<b>Lard</b>	-	320
<b>Fiber</b>	50	50
<b>Total vitamins</b>	10	10
<b>Mineral</b>	35	35
<b>L-Cystine</b>	1.8	1.8
<b>Coline</b>	2.5	2.5
<b>Carbohydrates (%)</b>	76	26
<b>Proteins (%)</b>	14	14
<b>Lipids (%)</b>	10	60

**Table 2** Nutritional composition of *L. edodes*, based on 100 g of the dry sample (%). Comparison with other studies using the same mushroom

	This study	Regula; Siwulski [8]	Mattila et al. [32]*	Reis et al. [33]*	Gaitán- Hernández et al. [34]
<b>Humidity</b>	90.6 ± 0.1	92.9	91.6	79.8	91.7
<b>Ashes</b>	5.3 ± 0.04	6.7	4.1	6.7	5.4
<b>Lipids</b>	2.9 ± 1.0	2.9	2.6	1.7	2.15
<b>Proteins</b>	18.4 ± 1.2	17.2	15.1	4.4	17.2
<b>Carbohydrates</b>	38.6 ± 2.0	19.9	48.7	87.1	75.3
<b>Fibers</b>	33. ± 0.1	46.2	27.7	-	-
<b>α-glucan</b>	1.01 ± 0,02	-	-	-	-
<b>β- glucan</b>	34.5 ± 0.01	-	-	-	-

\*Results of Matilla *et al.* [32] and Reis *et al.* [33] were converted on dry base.

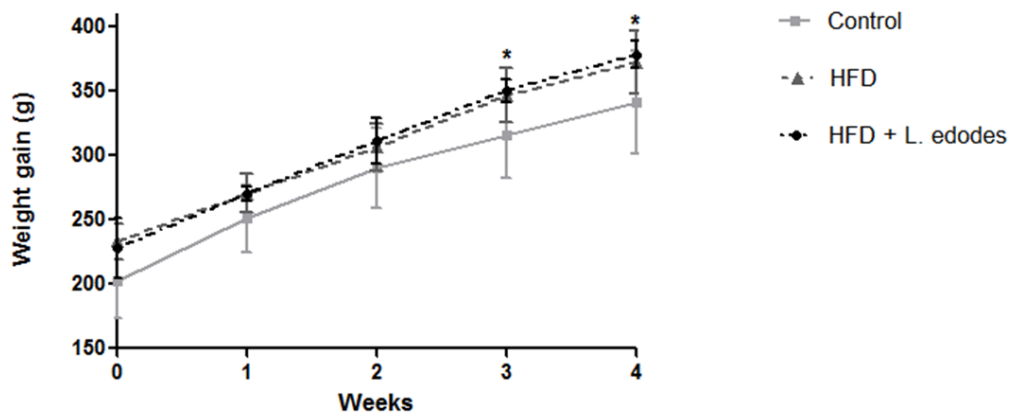
**Table 3** Haematological parameters of rats treated 30 days with Standard diet (Control), High-fat diet (HFD) and HFD + *L. edodes* (100 mg/kg). Data are expressed as mean ± standard deviation

	<b>Control</b>	<b>HFD</b>	<b>HFD + <i>L. edodes</i></b>	<b>p-value<sup>#</sup></b>
<b>WBC (10<sup>3</sup>/µL)</b>	5.66 ± 0.9	6.56 ± 0.5	7.60 ± 2.0*	0.25; 0.026
<b>RBC (10<sup>6</sup>/µL)</b>	7.49 ± 0.7	7.35 ± 0.3	7.48 ± 0.5	0.66; 0.98
<b>Hb (g/dL)</b>	14.5 ± 1.2	14.10 ± 0.9	14.3 ± 0.7	0.52; 0.72
<b>HCT (%)</b>	44.9 ± 3.6	43.0 ± 2.8	44.0 ± 1.9	0.27; 0.55
<b>MCV (fL)</b>	60.6 ± 2.3	58.4 ± 2.2	58.9 ± 2.9	0.16; 0.23
<b>MCH (pg)</b>	19.3 ± 0.7	19.2 ± 0.7	19.1 ± 0.9	0.74; 0.67
<b>MCHC (g/dL)</b>	32.2 ± 0.6	32.8 ± 0.2*	32.5 ± 0.5	0.041; 0.26
<b>PLT (10<sup>3</sup>/µL)</b>	617 ± 196	656 ± 217	741 ± 107	0.73; 0.3

WBC: *White Blood Cells*; RBC: Red Blood Cells; Hb: *Hemoglobin*; HCT: *Hematocrit*; MCV: Mean corpuscular volume; MCH: Mean corpuscular hemoglobin; MCHC: *Mean corpuscular hemoglobin concentration*; PLT: Platelet

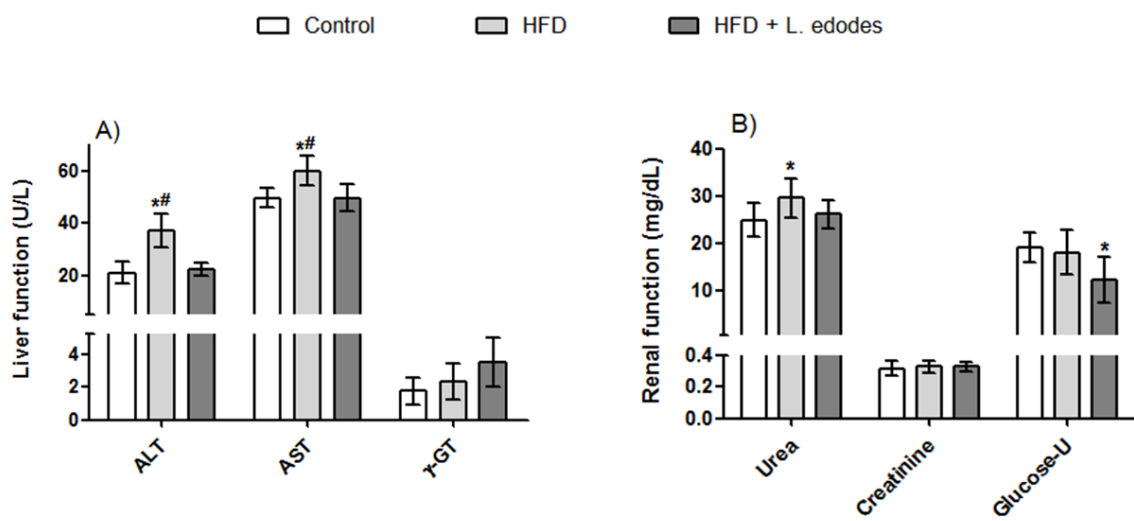
\*Statistically different from the control group; <sup>#</sup>p-value of HFD and HFD + *L. edodes* compared to the control, respectively.

**Fig 1** Rats body mass (g) in Control group, high-fat diet (HFD) and HFD + *L. edodes* 100 mg/kg through the weeks of the treatment. Data are expressed as mean  $\pm$  standard deviation.



\*Statistically different from control group: week 3 p=0.03 in HFD; p=0.023 in HFD + *L. edodes*; week 4 p=0.043 in HFD; p=0.049 in HFD + *L. edodes*

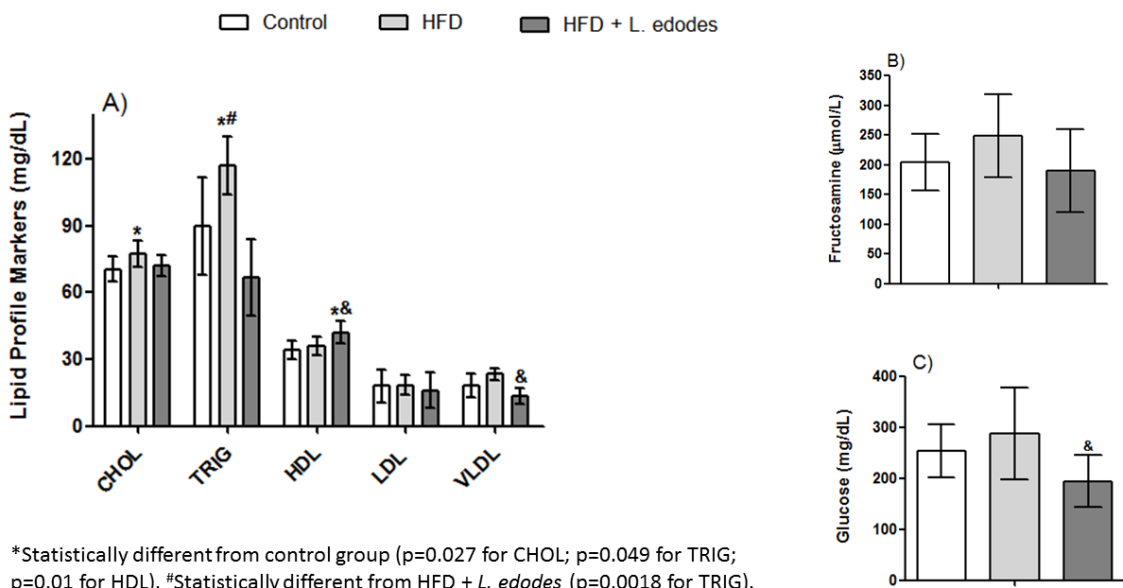
**Fig 2** In A, liver function (ALT - Alanina Transaminase; AST - Aspartato Transaminase;  $\gamma$ -GT - Gama Glutamil Transferase). In B, kidney function of rats treated for 30 days with Standard diet (Control), High-fat diet (HFD) and HFD + *L. edodes* 100 mg/kg. Data are expressed as mean  $\pm$  standard deviation.



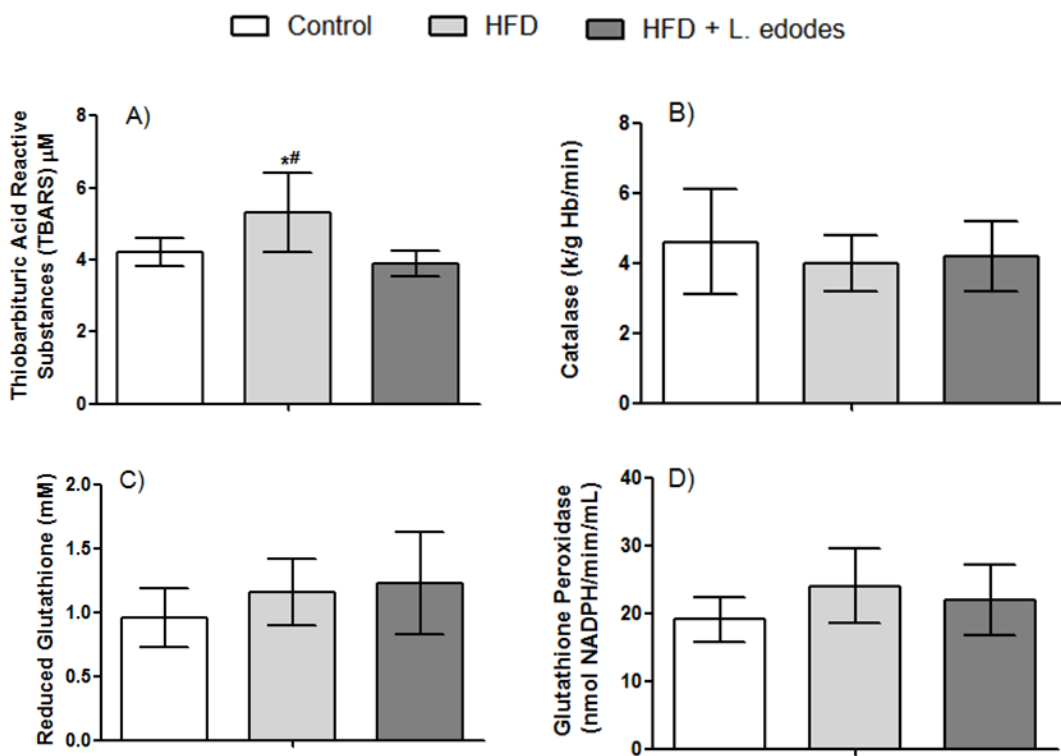
\*Statistically different from control group ( $p=0.0001$  for ALT;  $p=0.003$  for AST;  $p=0.047$  for urea;  $p=0.044$  for Glucose-U).

#Statistically different from HFD + *L. edodes* ( $p=0.0002$  for ALT;  $p=0.002$  for AST).

**Fig 3** In A) Lipid profile (COL - Cholesterol; TRIGL - triglycerides; HDL - High Density Lipoproteins; VLDL - Very Low Density Lipoprotein; LDL - Low Density Lipoproteins). In B and C) Glycemic profile of rats after 30 days receiving Standard diet (Control group), High-fat Diet (HFD) and HFD + *L. edodes* 100 mg/kg. Data are expressed as mean  $\pm$  standard deviation.



**Fig 4** Oxidative stress biomarkers of rats treated for 30 days with Standard diet (Control), High-fat diet (HFD) and HFD + *L. edodes* 100 mg/kg. Data are expressed as mean ± standard deviation.



\*Statistically different from control group ( $p=0.02$  for TBARS). #Statistically different from HFD + *L. edodes* ( $p=0.006$  for TBARS).

## 6 CONCLUSÃO DA DISSERTAÇÃO

Este foi um estudo pré-clínico, no qual os resultados mostraram os efeitos benéficos que o cogumelo *L. edodes* tem na prevenção de doenças e principalmente com doses adequadas ao real consumo humano. O *L. edodes* apresentou significativas reduções das desordens metabólicas causadas pelo consumo elevado da dieta hiperlipídica, revertendo principalmente injúrias hepáticas e colesterolêmicas.

O cogumelo foi efetivo nos danos renais induzidos pelo consumo excessivo de lipídeos, com a recuperação e equilíbrio da ureia e na manutenção da concentração da creatinina. No perfil lipídico, o *L. edodes* mostrou-se hipocolesterolêmico, também com ação benéfica aumentou os níveis de HDL. Apresentou ação antioxidante, reduzindo a peroxidação lipídica, portanto, neutralizando os danos oxidativos nas células. Entretanto, o cogumelo não interferiu no peso dos animais e nem na capacidade de saciedade, já que não houve diferença na quantidade de alimento consumido entre grupos.

As propriedades bioativas do cogumelo, como a hipolipidêmica, hipoglicêmica, hepatoprotetora e nefroprotetora podem ser provenientes das β-glucanas e fibras. Desta forma, o *L. edodes* pode ser uma boa indicação como suplemento alimentar.

## REFERÊNCIAS

- ADA - AMERICAN DIETETIC ASSOCIATION. Position of the American Dietetic Association: health implications of dietary fiber. **Journal of American Dietetic Association**. Bethesda-USA, v.102, p.993-1000, 2002.
- AEBI, H. Catalase in vitro. **Methods in Enzymology**. Bethesda-USA, v.105, p.121-126, 1984.
- ALAM, N. et al. Hypolipidemic Activities of Dietary *Pleurotus ostreatus* in Hypercholesterolemic Rats. **Mycobiology**. Incheon-Korea, v.39, n.1, p.45-51, 2011.
- ANDREO, D.; JORGE, N. Capacidade Antioxidante e Estabilidade Oxidativa de *Gengiber officinale*. **Científica Ciências biológicas e da Saúde**. Londrina, v.1, n.13, p. 33-37, 2011.
- ANGELO, P.M.; JORGE, N. Compostos fenólicos em alimentos – Uma breve revisão. **Revista do Instituto Adolfo Lutz**. São Paulo, v.66, n.1, p.1-9, 2007.
- ANJO, D. F. C. Alimentos funcionais em angiologia e cirurgia vascular. **Jornal Vascular Brasileiro**. Jaraguá do Sul, v.3, n.2, p.54-145, 2004.
- ARAÚJO, G. G. et al. Máxima Fase Estável de Lactato em Ratos Obesos de Ambos os Gêneros. **Revista Brasileira de Medicina do Esporte**. Rio Claro, v.15, n.1, p.46-49, 2009.
- ARAUJO, G. S.; MATOS, L. J. B. L, JO F. Extraction of lipids from microalgae by ultrasound application: Prospection of the optimal extraction method. **Ultrasonics sonochemistry**. Fortaleza, v.20, p.95-98, 2013.
- BADIMON L.; VILAHUR, G. LDL-cholesterol versus HDL-cholesterol in the atherosclerotic plaque: inflammatory resolution versus thrombotic chão. **Academy of Sciences**. New York, p.18-32, 2012.
- BANDELA, P. V.; PRASAD, K. D.; HAVILAH, P. Microalbuminuria in metabolically healthy and unhealthy obese individuals: na early indicator of microvascular endothelial dysfunction. **Journal of Medical Science and Technology**. Coimbatore-India, v.2, n.3, p.135-139, 2013.
- BARBIERI, M. et al. New aspects of the insulin resistance syndrome: impact on haematological parameters. **Diabetologia**. Florence, Italy v.44, p.1232-1237, 2001.
- BERNARDIS, L. L.; PATTERSON, B. D. Correlation Between 'Lee Index' and Carcass Fat Content in Weanling and Adult Female Rats with Hypothalamic Lesions. **Journal of Endocrinology**. New York, v.40 p.527-528, 1968.
- BETT, C. F. e PERONDI, M. A. Análise do Mercado de Cogumelos Comestíveis e Medicinais: Uma Prospecção de Alternativa de Renda para a Agricultura Familiar na Região Sudoeste do Paraná, **Synergismus scyentifica**. Pato Branco, v.6, n.1, 2011.

- BONDIA-PONS, I; RYAN, L; MARTINEZ, J. A. Oxidative stress and inflammation interactions in human obesity. **Journal of Physiology and Biochemistry**, Oxford, v.68, p. 701–711, 2012.
- BRASIL. Ministério Saúde. Associação Nacional de Vigilância Sanitária (ANVISA). Portaria n.º 398, de 30 de abril de 1999. **Regulamento Técnico que Estabelece as Diretrizes Básicas para Análise e Comprovação de Propriedades Funcionais e ou de Saúde Alegadas em Rotulagem de Alimentos**. Brasília-DF, 1999.
- CAMPANELLA, L. C. A. et al. Efeito da suplementação de óleo de cártamo sobre o peso corporal, perfil lipídico, glicídico e antioxidante de ratos wistar induzidos a obesidade. **Revista Ciências Farmacêuticas Básica e Aplicada**. Blumenau (SC), v.35, n.1, p.141-147, 2014.
- CARDOSO, J. et al. **Uso de alimentos termogênicos no tratamento da obesidade**. 2010. Universidade Federal do Rio de Janeiro - Centro de Ciências da Saúde, Instituto de Nutrição Josué de Castro Disciplina. Rio de Janeiro, 2010.
- CARVALHEIRA, J. B. C.; Qiu, Y.; Chawla A. Blood spotlight on leukocytes and obesity. **American Society of Hematology**. Washington, v.122, p.3263-3267, 2013.
- CHAGNAC, A et al. The Effects of Weight Loss on Renal Function in Patients with Severe Obesity. **Journal American Society Nephrology**. Tel Aviv-Israel, v.14, p.1480–1486, 2003.
- CHANG, H. C. et al. Oat prevents obesity and abdominal fat distribution, and improves liver function in humans. **Plant Foods for Human Nutrition**, Taiwan, v.68, p.18–23, 2013.
- CHUNG, W. S. et al. Hepatoprotective effect of *Lentinus edodes* mycelia fermented formulation against alcoholic liver injury in rats, **Journal of Food Biochemistry**. Seoul-Korea, p. 1-12, 2015.
- ELLMAN, G. L. Tissue sulfhydryl groups. **Archives of Biochemistry and Biophysics**. Califórnia, v.82, p.70-77, 1959.
- FIGUEIREDO, S. M.; DIAS, V. A. R. C.; RIBEIRO, L. D. Fibras alimentares: combinações de alimentos para atingir meta de consumo de fibra solúvel/dia. **e-Scientia**. Ouro Preto, v. 2, n.1, 2009.
- FORTES, R. C. et al. Effects of dietary supplementation with medicinal fungus in fasting glycemia levels of patients with colorectal cancer: a randomized, double-blind, placebo-controlled clinical study. **Nutrición Hospitalaria**. Guará-DF, v.23, n.6, p.591-598, 2008.
- FRAULOB, J.C. et al. A mouse model of metabolic syndrome: insulin resistance, fatty liver and non-alcoholic fatty pancreas disease (NAFPD) in C57BL/6 mice fed a high fat diet. **Journal Clinical Biochemistry and Nutrition**. Bethesda-USA, v.46, p.212-223, 2010.

- FRIEDEWALD, W. T.; LEVY, R. I.; FREDERICKSON, D. S. Estimation of the concentration of low density lipoprotein in plasma without the use of the preparative ultra centrifuge. **Clinical Chemistry**. Bethesda- USA, v.18, n.6 p.499-502, 1972.
- GIAVASIS L. Bioactive fungal polysaccharides as potential functional ingredients in food and nutraceuticals. **Current Opinion in Biotechnology**. Karditsa-Greece, v.26, p.162-173, 2014.
- GROTTO, D. et al. Deficiency of macro and micronutrients induced by *Lentinula edodes*. **Toxicology**. Detroit-USA, v.2, p.401-404, 2015.
- GUILLAMÓN, E. et al. Edible mushrooms: Role in the prevention of cardiovascular diseases. **Fitoterapia**, Soria-Spain, v.81, n.7, p.715-723, 2010.
- HALLIWELL, B, CHIRICO, S. Lipid peroxidation: its mechanism, measurement, and significance. **American Journal of Clinical and Nutrition**. London, v.57, p.715-724, 1993.
- HANDAYANI, D. et al. Dietary Shiitake Mushroom (*Lentinus edodes*) Prevents Fat Deposition and Lowers Triglyceride in Rats Fed a High-Fat Diet. **Journal of Obesity**. Wollongong, Article ID 258051, p., 2011.
- HOPPS, E. et al. A novel component of the metabolic syndrome: the oxidative stress. **Nutrition, Metabolism and Cardiovascular Diseases**. Palermo, v.20, p.72–77, 2010.
- IMPARL-RADOSEVICH, J. et al. Regulation of phosphorylase phosphatase (PTP-1) and insulin receptor kinase by fractions from cinnamon: implications for cinnamon regulation of insulin signaling. **Hormone Research**. Iowa, v.50, p.177–182, 1998.
- ISRAILIDES C et al. *In vitro* cytostatic and immunomodulatory properties of the medicinal mushroom *Lentinula edodes*. **Phytomedicine**. Athens-Greece, v.15, p.512-519, 2008.
- JACQUES, A. C. et al. Compostos Bioativos em Pequenas Frutas Cultivadas na Região Sul do Estado do Rio Grande do Sul. **Brazilian Journal of Food Technology**. Pelotas, v.12, n.2, p.123-127, 2009.
- KHAN, A. et al. Cinnamon improves glucose and lipids of people with type 2 diabetes. **Diabetes Care**. Beltsville, v.26, p.3215–3218, 2003.
- KUMAR M. et al. Cholesterol-Lowering Probiotics as Potential Biotherapeutics for Metabolic Diseases. **Revista Experimental Diabetes Research**. Haryana-Índia, p. 1-14, 2012.
- LANDSBERG, L. et al. Obesity-Related Hypertension: Pathogenesis, Cardiovascular Risk, and Treatment- A Position Paper of The Obesity Society and the American Society of Hypertension. **Obesity**. Chicago, v.21, n.1, p.8-24, 2013.
- LEMOS, F. M. R. Elaboração e caracterização de produto análogo a hambúrguer de cogumelo Agaricus brasiliensis. 2009. 147f. Dissertação - Programa de Pós

- Graduação em Tecnologia de Alimentos – Setor de Tecnologia. Universidade Federal do Paraná. Curitiba, 2009.
- LENQUISTE, S.A., et al. Freeze-dried jaboticaba peel added to high-fat diet increases HDL-cholesterol and improves insulin resistance in obese rats. **Food Research International**, Toronto-Canadá, v.49, p.153-160, 2012.
- MAKI, et al. Whole-grain ready-to-eat oat cereal, as part of a dietary program for weight loss, reduces low-density lipoprotein cholesterol in adults with overweight and obesity more than a dietary program including low-fiber control foods. **Journal of the American Dietetic Association**. Bethesda-USA, v.110, n.2, p.205-214, 2010.
- MANZI, P. et al. Nutrients in edible mushrooms: an inter-species comparative study. **Food Chemistry**. Roma-Itália, v.65, n.4, p.477-482, 1999.
- MARSICANO, A. P. et al. Néfropatia diabética e insuficiência renal. **Revista do Curso de Enfermagem**. Santa Cruz, v.3, 2015.
- MATÉS, J. M. et al. Antioxidant Enzymes and Human Diseases. **Clinical Biochemistry**. Printed-USA, v.32, n.8, p.595–603, 1999.
- MCCLEARY, B. V. et al. Determination of Total Dietary Fiber (CODEX Definition) by Enzymatic-Gravimetric Method and Liquid Chromatography: Collaborative Study. **Journal AOAC International**. Wicklow-Ireland, v.93, n.1, p.221-233, 2010.
- MIRCEA, C.; BILD, V.; ZAVASTIN, D. The protective effect of mushrooms in experimentally induced diabetes in Mice. **Farmacia**. Iasi-Romania, v.61, n.2, p.268, 2013.
- MOLLER, N. P. et al. Bioactive peptides and proteins from foods: indication for health effects. **European Journal of Nutrition**. Norway, v.47, n.4, p.171–182, 2008.
- MONTEIRO NF et al. **Efeitos metabólicos do extrato aquoso do cogumelo lentinula edodes em ratos induzidos a obesidade, hiperglicemia e dislipidemia**. Anais da XXXIV Semana Médica, X COMA e VII Congresso de Iniciação Científica. Itajubá, MG: Faculdade de Medicina de Itajubá, 2014.
- MORAES, F. P.; COLLA, L. M. Alimentos funcionais e nutracêuticos: definições, legislação e benefícios à saúde. **Revista Eletrônica de Farmácia**. Passo Fundo, v.3, p.109-122, 2006.
- MOZAFFARIAN, D. et al. Dietary intake of trans fatty acids and systemic inflammation in women. **American Journal of Clinical Nutrition**. Boston, v.79, p.606-612, 2004.
- NAVES, L. A. et al. Distúrbios na Secreção e Ação do Hormônio Antidiurético. **Arquivos Brasileiros de Endocrinologia e Metabologia**. Brasilia, v.47, n.4, 2003.
- NOVAES M. R. C. G; FORTES R. C. Efeitos antitumorais de cogumelos comestíveis da família agaricaceae. **Revista de Nutrição Brasileira**. Brasília, v.4, n.4, p.207-217, 2005.

- OHKAWA, H.; OHISHI, N.; YAGI, K. Assay for lipid peroxides in animal tissues by Thiobarbituric Acid reaction. **Analytical Biochemistry**. Nagoya, v.95, n.2, p.351-358, 1979.
- ORSI V. C. Avaliação das características físicas e Biofarmacotécnicas de comprimidos preparados com Farelo da fécula e farelo da farinha da mandioca, usando uma máquina de compressão instrumentada. 2011. 115f. Dissertação de Pós-Graduação em Ciências Farmacêuticas- Mestrado. Universidade de Sorocaba, Sorocaba, 2011.
- PADOVANI, R. M. et al. Dietary reference intakes: aplicabilidade das tabelas em estudos nutricionais. **Revista de Nutrição**. Campinas, v.19, n.6, p.741-760, 2006.
- PAGLIA, D. E; VALENTINE, W. N. Study on the quantitative and qualitative characterization of erythrocyte glutathione peroxide. **Journal of Laboratory and Clinical Medicine**. Los Angeles, v.70, p.158-69, 1967.
- PAULI, P. A. **Avaliação da composição química, compostos bioativos e atividade antioxidante em cogumelos comestíveis**. 2010. 73 f. Dissertação de Pós-graduação em Alimentos e Nutrição da Faculdade de Ciências Farmacêuticas, UNESP – Araraquara, 1999.
- PINELA J. et al. Nutritional composition and antioxidant activity of four tomato (*Lycopersicon esculentum L.*) farmer' varieties in Northeastern Portugal homegardens. **Food Chemistry Toxicology**. Bragança, v.50, p.829-834, 2012.
- PINI, M. et al Hematological and acute-phase responses to diet-induced obesity in IL-6 KO mice. **Cytokine**. Chicago, v.56, n. 3, p.708–716. 2011.
- RINCÃO, V. P. et al. Polysaccharide and extracts from *Lentinula edodes*: structural features and antiviral activity. **Virology Journal**. Londrina, v.9, n.37, p. 2-6, 2012.
- ROBERTS, C. K.; SINDHU, K. K. Oxidative stress and metabolic syndrome. **Life Science**. Berkeley, v.84, p.705–712, 2009.
- ROCHA, L. P. Benefícios dos probióticos à saúde humana. 2011. Trabalho de Conclusão de Curso de Nutrição. Universidade Regional do Noroeste do Estado do Rio Grande do Sul – UNIJUÍ. 2012.
- ROP, O.; MLCEK, J.; JURIKOVA, T. Beta-glucans in higher fungi and their health effects nure. **Nutrition Reviews**. Nitra-Slovak Republic, v.67, n.11, p.624-631, 2009.
- SBCBM – SOCIEDADE BRASILEIRA DE CIRURGIA BARIÁTRICA E METABÓLICA, 2014. Disponível em <http://www.spcb.org.br/obesidade.php?menu=0>. Acesso em 28 de março de 2014.
- SCHINDHELM, R. K. et al. Alanine aminotransferase as a marker of non-alcoholic fatty liver disease in relation to type 2 diabetes mellitus and cardiovascular disease. **Diabetes Metabolism Research**. Amsterdam, v.22, p.437–443, 2006.

- SERQUIZ, A. C. **Efeito sacietogênico de um novo inibidor de tripsina da paçoca de amendoim com aumento plasmático de colecistocinina (CCK)**. 2012. 97 f. Dissertação de Pós-Graduação do Departamento de Bioquímica da Universidade Federal do Rio Grande do Norte. Natal-RN, 2012.
- SERRANO, J.; SANCHEZ- GONZÁLEZ, I. Trends in functional foods against obesity: Functional ingredients, technologically modified foods and full diets. **Revista Española de Nutrición Comunitaria**. Lleida-Spain, v.14, n.3, p.193-200, 2008.
- SIDDQUI A. H. et al. Correlation of Waist-to-hip Ratio (WHR) and Oxidative Stress in Patients of Acute Myocardial Infarction (AMI). **Journal of Clinical and Diagnostic Research**. Aligarh-India, v.8, n.1, p.4-7, 2014.
- SLAVIN, J. Fiber and Prebiotics: Mechanisms and Health Benefits. **Nutrients**. St. Paul, v.5, p.1417-1435, 2013.
- TAO LX et al. Association of hematological parameters with metabolic syndrome in Beijing adult population: a longitudinal study. **Endocrine**. New York, v. 46, p 485-495, 2013.
- TOMASI E. et al., Utilização de serviços de saúde no Brasil: associação com indicadores de excesso de peso e gordura abdominal. **Caderno de Saúde Pública**. Rio de Janeiro, v.30, n.7, p.1515-1524, 2014.
- WARREN, P. V.; SWANSON, R. V. **Transminases and ammonotransferases**. USA 5962283 A. 5 out. 1999.
- WISSE, B. E. The Inflammatory Syndrome: The Role of Adipose Tissue Cytokines in Metabolic Disorders Linked to Obesity. **Journal of the American Society of Nephrology**. Seattle, v.15, p.2792–2800, 2004.
- WHO - WORLD HEALTH ORGANIZATION, Fact sheet N°311, 2013.  
Disponível em <http://www.who.int/mediacentre/factsheets/fs311/en/>. Acesso em 29 de março de 2014.
- YOON, K. N. et al. Antihyperlipidemic Effect of Dietary *Lentinus edodes* on Plasma, Feces and Hepatic Tissues in Hypercholesterolemic Rats. **Mycobiology**. Seoul-Korea, v.39, n.2, p.96-102, 2011.
- YUN J. W. Possible anti-obesity therapeutics from nature - a review. **Phytochemistry**. Kyungsan-Korea, v.71, n.14-15, p.1625-1641, 2010.
- ZANI, V. T. et al. Intervenção Educativa e Alimentar com Suplemento de Aveia em Mulheres Idosas. **Caderno pedagógico**. Porto Alegre, v.12, n.1, p.184-195, 2015.
- ZEKOV'C D. B. et al. Natural and Modified (1→3)- $\beta$ -D-Glucans in Health Promotion and Disease Alleviation. **Critical Reviews in Biotechnology**, v.25, p.205–230, 2005.
- ZHANG, Y. et al. Edible Mushroom Cultivation for Food Security and Rural Development in China: Bio-Innovation, Technological Dissemination and Marketing. **Sustainability**. Nanjing – China, v.6, p.2961-2973, 2014.

ZHOU, N. et al. Sequential extractions: A new way for protein quantification data from peanut allergens. **Analytical Biochemistry**. Nanchang-China, v.484, p.31-36, 2015.

ZHU, M. et al. Optimizing conditions of polysaccharide extraction from *shiitake* mushroom using response surface methodology and its regulating lipid metabolism. **Carbohydrate polymers**. Shanghai-China, v.95, n.2, p.644-648, 2013.

**ANEXO A - Carta de Aprovação da Comissão de Ética Animal.**

**UNIVERSIDADE DE SOROCABA**  
**COMISSÃO DE ÉTICA NO USO DE ANIMAIS**  
**CEUA-UNISO**  
**PARECER**

Protocolo nº 068/2012

Interessado: Denise Grotto

Orientador: NSA

**Título do Projeto:** Avaliação de parâmetros bioquímicos, antioxidantes e neuroquímicos em ratos expostos ao *Lentinula edodes* (Shiitake), e seu possível uso em distúrbios metabólicos

**Título do Experimento:** Avaliação de parâmetros bioquímicos, antioxidantes e neuroquímicos em ratos expostos ao *Lentinula edodes* (Shiitake), e seu possível uso em distúrbios metabólicos

Apresentado a Comissão de ética no uso de animais (CEUA) para análise, segundo a Lei No. 11.794, de 8 de outubro de 2008, que regulamenta o inciso VII do parágrafo 1º do artigo 225 da Constituição Federal, foi considerado:

**APROVADO.**

**APROVADO com RECOMENDAÇÃO**, devendo o proponente encaminhar as modificações sugeridas em anexo para complementação do protocolo;

**COM PENDÊNCIA**, devendo o proponente readequar os itens do protocolo;

**REPROVADO**

Manifestação do Parecerista:

**1º Parecer**

Com pendência:

Item 7 – Justificar a necessidade do uso de animais para avaliar parâmetros especificados no projeto (sugestão: copiar primeira frase escrita no item 9).

Item 9 – Excluir primeira frase e incluir que não há métodos alternativos para este procedimento.

Item 9.4 – Incluir o delineamento experimental (estatístico) para determinar o número de animais por grupo "n" citado.

Item 12.1 – Justificar a administração intraperitoneal, observando a Resolução CFMV 1000/2012: “\* Em todos os casos, para todas as espécies, os barbitúricos ou outros anestésicos gerais injetáveis devem: - ser precedidos de medicação pré-anestésica, - ser administrados por via intravenosa e apenas na impossibilidade desta, por via intraperitoneal, em dose suficiente para produzir a ausência do reflexo corneal. Após a ausência do reflexo corneal, pode-se complementar com o cloreto de potássio associado ou não ao bloqueador neuromuscular, ambos por via intravenosa.”

Item 13 – Abordar apenas procedimentos com animais (Etapa 2 – Experimentos I e II).

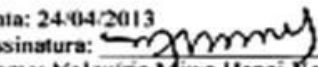
Item 14 – Assinar e datar o Termo de Responsabilidade.

O cronograma no projeto submetido à Ceua deve estar relacionado ao uso animal, isto é, previsão do início e fim dos procedimentos, aquisição dos animais, entre outros.

**2º Parecer**

**APROVADO**

Data: 24/04/2013

Assinatura: 

Nome: Valquiria Miwa Hanai Yoshida  
 Coordenadora da CEUA-UNISO

**ANEXO B – Atestado de sanidade animal.**

Animais de Laboratório Criação e Comércio Ltda. - EPP  
CNPJ.: 65.440.612/0001-40  
INSC. EST.: 513.020.551.116

Paulínia, 30 de Setembro de 2014.

**ATESTADO DE SANIDADE ANIMAL**

Atesto para os devidos fins que os CAMUNDONGOS SWISS e os RATOS WISTAR procedentes deste estabelecimento, CONSTANTES NA NOTA FISCAL 002277 estão em *perfeitas condições de saúde e livres de doenças infecto-contagiosas*, cumprindo-se, dessa forma, o que determinam os dispositivos legais vigentes, no que se referem às exigências sanitárias para o deslocamento dos animais.

Outrossim, informo que os referidos animais são provenientes de matrizes igualmente saudáveis e isentas de quaisquer tipos de tratamento medicamentoso ou por meio de vacinas

Atenciosamente,

Devanir Perecini  
Médico Veterinário  
CRMV-SP 32825

**ANEXO C – Submissão do artigo à revista European Journal of Nutrition.**

EJON: Submission Confirmation for Effects of Lentinula edodes consumption on biochemical, haematological and oxidative stress parameters in rats receiving high-fat diet

**EM**

em.ejon.0.48c5a2.dfab5a66@editorialmanager.com em nome de Editorial Office (EJON) <em@



Responder a todos | v

Para: Denise Grotto; v

ter 26/01/2016 10:56

Dear Dr Grotto,

Your submission entitled "Effects of Lentinula edodes consumption on biochemical, haematological and oxidative stress parameters in rats receiving high-fat diet" has been received by journal European Journal of Nutrition

You will be able to check on the progress of your paper by logging on to Editorial Manager as an author.

The URL is <http://ejon.edmgr.com/>.

Your manuscript will be given a reference number once an Editor has been assigned.

Thank you for submitting your work to this journal.

Kind regards,  
Springer Journals Editorial Office  
European Journal of Nutrition

## **ANEXO D - Guia da Revista “European Journal of Nutrition”.**

### **TYPES OF PAPERS**

- Accepted article types: Original Articles, Reviews, Short Communications, Letters to the Editors.
- Declaration of Conflict of Interest is mandatory for all submissions. Please refer to the section "Integrity of research and reporting" in the Instructions for Authors.
- Original Articles must not exceed 25 manuscript pages of max. 32 lines each. Exceptions can be made only with the agreement of the responsible Editor.
- Short Communications should not have more than 4 authors, and not contain more than 1000 words and 10 references. Summary and key words are not required. Preliminary results of highly innovative studies may be submitted as Short Communications.
- Letters to the Editors should not have more than 4 authors, and not contain more than 1000 words and 10 references. Summary and key words are not required. Letters are expected to provide substantive comments on papers published in the EJN. Both the letter and a reply, if appropriate, are published together whenever possible.
- Please submit Original Articles, Reviews, Short Communications electronically via Editorial Manager using the hyperlink “Submit online”
- Please send Letters to the Editor directly to the following e-mail address: [eurjnutr@gmail.com](mailto:eurjnutr@gmail.com)

### *Manuscript Submission*

Submission of a manuscript implies: that the work described has not been published before; that it is not under consideration for publication anywhere else; that its publication has been approved by all co-authors, if any, as well as by the responsible authorities – tacitly or explicitly – at the institute where the work has been carried out. The publisher will not be held legally responsible should there be any claims for compensation.

### *Permissions*

Authors wishing to include figures, tables, or text passages that have already been published elsewhere are required to obtain permission from the copyright owner(s) for both the print and online format and to include evidence that such permission has been granted when submitting their papers. Any material received without such evidence will be assumed to originate from the authors.

### *Online Submission*

Please follow the hyperlink “Submit online” on the right and upload all of your manuscript files following the instructions given on the screen.

### *Title Page*

The title page should include:

- The name(s) of the author(s)
- A concise and informative title
- The affiliation(s) and address(es) of the author(s)
- The e-mail address, telephone and fax numbers of the corresponding author

### *Abstract*

Please provide a structured abstract of 150 to 250 words which should be divided into the following sections:

- Purpose (stating the main purposes and research question)
- Methods
- Results
- Conclusions

### *Keywords*

Please provide 4 to 6 keywords which can be used for indexing purposes.

### *Text Formatting*

Manuscripts should be submitted in Word.

- Use a normal, plain font (e.g., 10-point Times Roman) for text.
- Use italics for emphasis.
- Use the automatic page numbering function to number the pages.
- Do not use field functions.
- Use tab stops or other commands for indents, not the space bar.
- Use the table function, not spreadsheets, to make tables.
- Use the equation editor or MathType for equations.
- Save your file in docx format (Word 2007 or higher) or doc format (older Word versions).

Manuscripts with mathematical content can also be submitted in LaTeX.

### *Headings*

Please use no more than three levels of displayed headings.

### *Abbreviations*

Abbreviations should be defined at first mention and used consistently thereafter.

### *Footnotes*

Footnotes can be used to give additional information, which may include the citation of a reference included in the reference list. They should not consist solely of a reference citation, and they should never include the bibliographic details of a reference. They should also not contain any figures or tables.

Footnotes to the text are numbered consecutively; those to tables should be indicated by superscript lower-case letters (or asterisks for significance values and other statistical data). Footnotes to the title or the authors of the article are not given reference symbols.

Always use footnotes instead of endnotes.

### *Acknowledgments*

Acknowledgments of people, grants, funds, etc. should be placed in a separate section on the title page. The names of funding organizations should be written in full.

### *Line numbering:*

Please activate the line numbering function for your manuscript.

### *Citation*

Reference citations in the text should be identified by numbers in square brackets. Some examples:

1. Negotiation research spans many disciplines [3].
2. This result was later contradicted by Becker and Seligman [5].
3. This effect has been widely studied [1-3, 7].

### *Reference list*

The list of references should only include works that are cited in the text and that have been published or accepted for publication. Personal communications and unpublished works should only be mentioned in the text. Do not use footnotes or endnotes as a substitute for a reference list.

The entries in the list should be numbered consecutively.

- Journal article

Gamelin FX, Baquet G, Berthoin S, Thevenet D, Nourry C, Nottin S, Bosquet L (2009) Effect of high intensity intermittent training on heart rate variability in prepubescent children. *Eur J Appl Physiol* 105:731–738. doi: 10.1007/s00421-008-0955-8

Ideally, the names of all authors should be provided, but the usage of “et al” in long author lists will also be accepted:

Smith J, Jones M Jr, Houghton L et al (1999) Future of health insurance. *N Engl J Med* 965:325–329

- Article by DOI

Slifka MK, Whitton JL (2000) Clinical implications of dysregulated cytokine production. *J Mol Med.* doi:10.1007/s001090000086

- Book

South J, Blass B (2001) The future of modern genomics. Blackwell, London

- Book chapter

Brown B, Aaron M (2001) The politics of nature. In: Smith J (ed) The rise of modern genomics, 3rd edn. Wiley, New York, pp 230–257

- Online document

Cartwright J (2007) Big stars have weather too. IOP Publishing PhysicsWeb. <http://physicsweb.org/articles/news/11/6/16/1>. Accessed 26 June 2007

- Dissertation

Trent JW (1975) Experimental acute renal failure. Dissertation, University of California

Always use the standard abbreviation of a journal’s name according to the ISSN List of Title Word Abbreviations, see

- ISSN.org LTWA

If you are unsure, please use the full journal title.

For authors using EndNote, Springer provides an output style that supports the formatting of in-text citations and reference list.

- EndNote style (zip, 2 kB)

Authors preparing their manuscript in LaTeX can use the bibtex file spbasic.bst which is included in Springer’s LaTeX macro package.

### Tables

- All tables are to be numbered using Arabic numerals.
- Tables should always be cited in text in consecutive numerical order.
- For each table, please supply a table caption (title) explaining the components of the table.
- Identify any previously published material by giving the original source in the form of a reference at the end of the table caption.
- Footnotes to tables should be indicated by superscript lower-case letters (or asterisks for significance values and other statistical data) and included beneath the table body.

### Electronic Figure Submission

- Supply all figures electronically.
- Indicate what graphics program was used to create the artwork.
- For vector graphics, the preferred format is EPS; for halftones, please use TIFF format. MSOffice files are also acceptable.
- Vector graphics containing fonts must have the fonts embedded in the files.
- Name your figure files with "Fig" and the figure number, e.g., Fig1.eps.

- Definition: Black and white graphic with no shading.
- Do not use faint lines and/or lettering and check that all lines and lettering within the figures are legible at final size.
- All lines should be at least 0.1 mm (0.3 pt) wide.
- Scanned line drawings and line drawings in bitmap format should have a minimum resolution of 1200 dpi.
- Vector graphics containing fonts must have the fonts embedded in the files.

#### *Color Art*

- Color art is free of charge for online publication.
- If black and white will be shown in the print version, make sure that the main information will still be visible. Many colors are not distinguishable from one another when converted to black and white. A simple way to check this is to make a xerographic copy to see if the necessary distinctions between the different colors are still apparent.
- If the figures will be printed in black and white, do not refer to color in the captions.
- Color illustrations should be submitted as RGB (8 bits per channel).

#### *Figure Lettering*

- To add lettering, it is best to use Helvetica or Arial (sans serif fonts).
- Keep lettering consistently sized throughout your final-sized artwork, usually about 2–3 mm (8–12 pt).
- Variance of type size within an illustration should be minimal, e.g., do not use 8-pt type on an axis and 20-pt type for the axis label.
- Avoid effects such as shading, outline letters, etc.
- Do not include titles or captions within your illustrations.

#### *Figure Numbering*

- All figures are to be numbered using Arabic numerals.
- Figures should always be cited in text in consecutive numerical order.
- Figure parts should be denoted by lowercase letters (a, b, c, etc.).
- If an appendix appears in your article and it contains one or more figures, continue the consecutive numbering of the main text. Do not number the appendix figures, "A1, A2, A3, etc." Figures in online appendices (Electronic Supplementary Material) should, however, be numbered separately.

#### *Figure Captions*

- Each figure should have a concise caption describing accurately what the figure depicts. Include the captions in the text file of the manuscript, not in the figure file.
- Figure captions begin with the term Fig. in bold type, followed by the figure number, also in bold type.
- No punctuation is to be included after the number, nor is any punctuation to be placed at the end of the caption.
- Identify all elements found in the figure in the figure caption; and use boxes, circles, etc., as coordinate points in graphs.
- Identify previously published material by giving the original source in the form of a reference citation at the end of the figure caption.

#### *Figure Placement and Size*

- Figures should be submitted separately from the text, if possible.
- When preparing your figures, size figures to fit in the column width.
- For most journals the figures should be 39 mm, 84 mm, 129 mm, or 174 mm wide and not higher than 234 mm.
- For books and book-sized journals, the figures should be 80 mm or 122 mm wide and not higher than 198 mm.

*Permissions*

If you include figures that have already been published elsewhere, you must obtain permission from the copyright owner(s) for both the print and online format. Please be aware that some publishers do not grant electronic rights for free and that Springer will not be able to refund any costs that may have occurred to receive these permissions. In such cases, material from other sources should be used.

*Accessibility*

In order to give people of all abilities and disabilities access to the content of your figures, please make sure that

- All figures have descriptive captions (blind users could then use a text-to-speech software or a text-to-Braille hardware)
- Patterns are used instead of or in addition to colors for conveying information (colorblind users would then be able to distinguish the visual elements)
- Any figure lettering has a contrast ratio of at least 4.5:1

*Ethical standards*

Manuscripts submitted for publication must contain a statement to the effect that all human and animal studies have been approved by the appropriate ethics committee and have therefore been performed in accordance with the ethical standards laid down in the 1964 Declaration of Helsinki and its later amendments.

It should also be stated clearly in the text that all persons gave their informed consent prior to their inclusion in the study. Details that might disclose the identity of the subjects under study should be omitted.

These statements should be added in a separate section before the reference list. If these statements are not applicable, authors should state: The manuscript does not contain clinical studies or patient data.

The editors reserve the right to reject manuscripts that do not comply with the above-mentioned requirements. The author will be held responsible for false statements or failure to fulfill the above-mentioned requirements

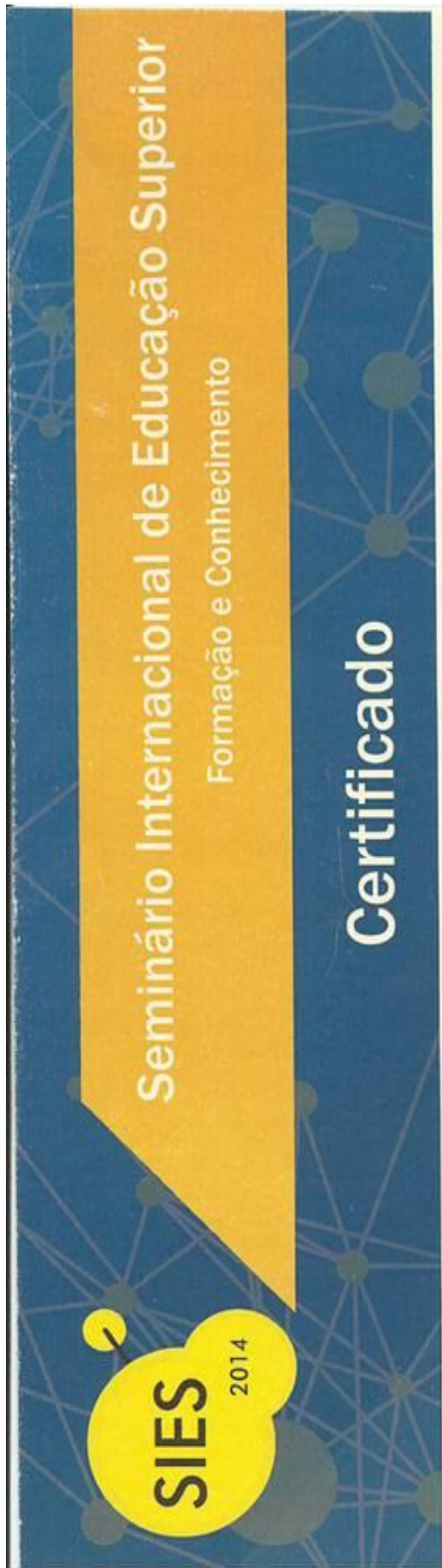
*Conflict of interest*

Authors must indicate whether or not they have a financial relationship with the organization that sponsored the research. This note should be added in a separate section before the reference list.

If no conflict exists, authors should state: The authors declare that they have no conflict of interest.

**ANEXO E – Participação em Congressos.**





Certificamos que Sára Rosicke Vilela Spini participou  
do Seminário Internacional de Educação Superior: Formação e Conhecimento, realizado pelo  
Programa de Pós-Graduação em Educação da Universidade de Sorocaba, no período de 26 a 28 de  
outubro de 2014.



# CERTIFICADO



O Instituto de Ensino e Pesquisa do Hospital Bandeirantes certifica que

## Sara Rosicler Vieira Spim

participou do “**VII Simpósio de Nutrição Clínica: Qualidade de Vida**” realizado no dia 03 de julho de 2015, com carga horária total de 10 (dez) horas.

**Dr. Carlos Daniel Magnoni**

Diretor do IMEN  
Instituto de Metabolismo e Nutrição

**Patricia Ramos**

Coordenadora do Serviço de Nutrição  
Hospital Bandeirantes

**Ana Paula Lopes Melo Pimenta**

Coordenadora do Instituto de Ensino e Pesquisa  
Hospital Bandeirantes



## Certificado

Certificamos que **Sara Rosicler Vieira Spim** participou da palestra “Desafios e Importância da Terapia Nutricional em Pacientes Oncológicos”, realizada no dia 29 de abril de 2015, na Universidade de Sorocaba, com carga horária de 04h.

Sorocaba, 29 de abril de 2015.

  
Prof. Dr. José Martins de Oliveira Junior  
Prel. Reitor Acadêmico do Uniso

X  
**SEMANA  
DA SAÚDE**

Saúde e Meio Ambiente:  
Os Desafios da Atualidade

**ANEXO F - Apresentação de Pôsteres em Congressos.**





## Certificado

Certificamos que o trabalho **REVISÃO CRÍTICA DE MÉTODOS ALTERNATIVOS PARA AVALIAÇÃO DA SEGURANÇA E EFICÁCIA DO Agaricus blazei**, de autoria de **Antonio Ademar Poles Junior, Bianca Hessel Maschio e Sara Rosicler Vieira Spim**, foi apresentado em formato de pôster durante o VIII Simpósio Internacional Sobre Cogumelos no Brasil / VII Simpósio Nacional sobre Cogumelos Comestíveis, realizado na Universidade de Sorocaba, em Sorocaba-SP, Brasil, no período de 18 a 22 de agosto de 2015.

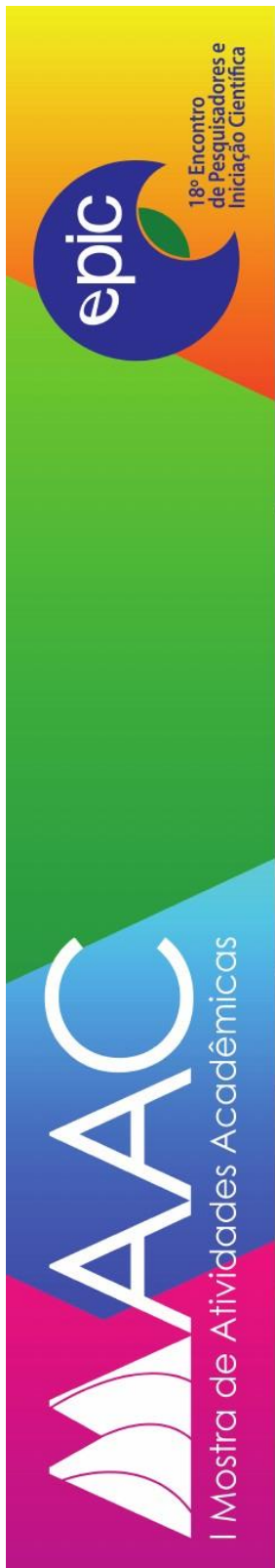
Sorocaba, 22 de Agosto de 2015.

Prof. Dr. Maril Gherardi  
Presidente do VIII SICOG  
Coordenadora do Comitê Científico

Prof. Dr. Maria Sylvia do Amaral Gurgel  
Vice-Presidente do VIII SICOG  
Membro do Comitê Científico







## Certificado

Pelo presente, certificamos que o trabalho intitulado “NÍVEIS SÉRICOS DE GLICOSE E PERFIL LIPÍDICO EM RATOS ALIMENTADOS COM DIETA HIPERCALÓRICA E EXPOSTAS AO Lentíula edodes (SHII/TAKE)”, de autoria de **BRUNA GIOVANA CORRÊA CHRISPIM DE OLIVEIRA, FERNANDA GOMES LEITE, SARA ROSICLER VIEIRA SPIM**, sob orientação do(a) PROF. DRª. DENISE GROTTTO, foi apresentado no XVIII Encontro de Pesquisadores e de Iniciação Científica - EPIC, como parte da I Mostra de Atividades Acadêmicas – MAAC, da Universidade de Sorocaba - Uniso, realizado dia 04 de novembro de 2015.

Sorocaba, 04 de novembro de 2015.

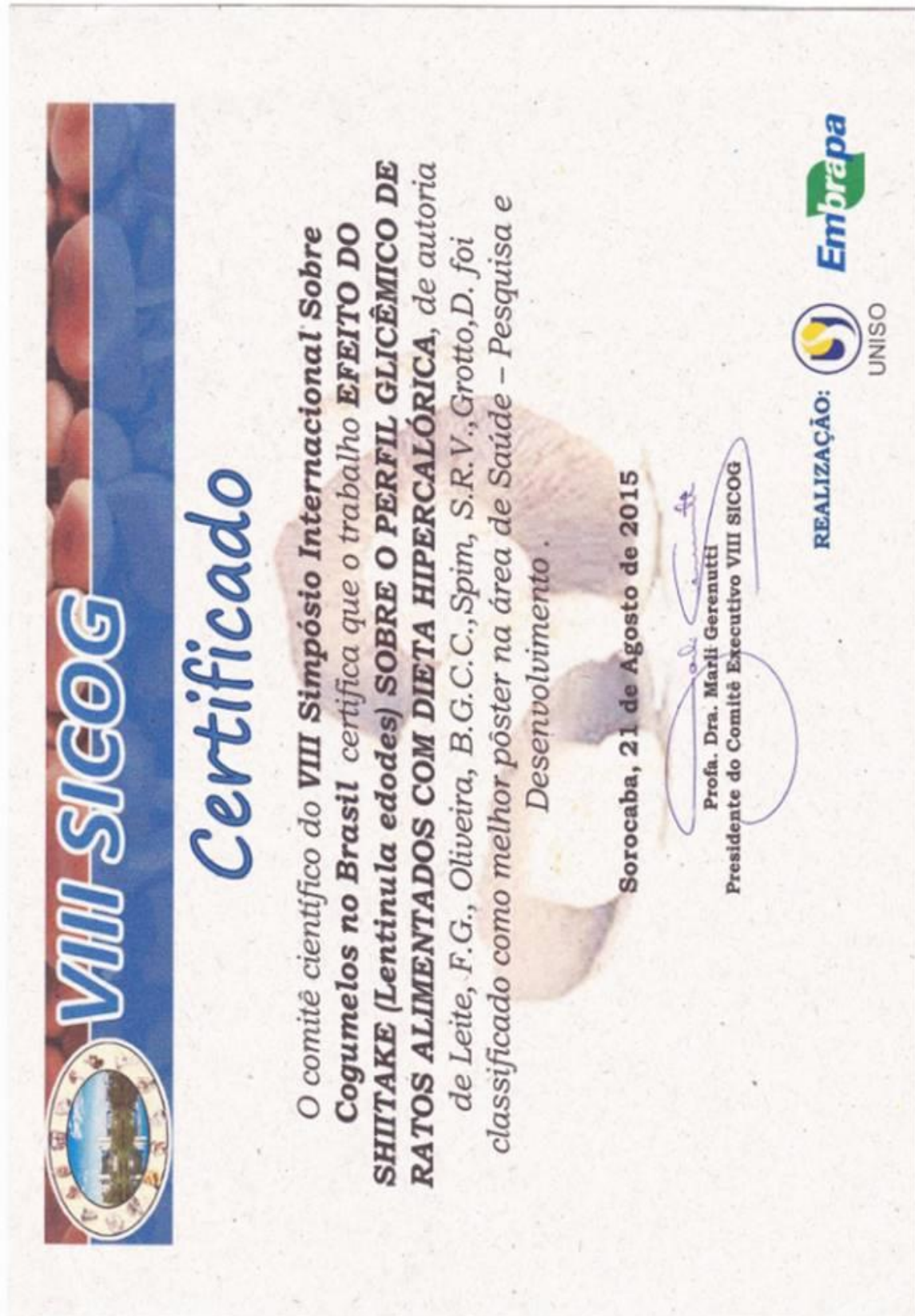


Prof. Dr. José Martins de Oliveira Junior  
Pró-Reitor Acadêmico da Universidade de Sorocaba - Uniso



Profa. Dra. Luciane Cruz Tapas  
Presidenta da Comissão Organizadora do XVIII Encontro de Pesquisadores e Iniciação Científica - EPIC e da I Mostra de Atividades Acadêmicas - MAAC



**ANEXO G – Premiações.**



**ANEXO H – Participação em Bancas de Trabalho de Conclusão de Curso.**

op  
r  
a  
d  
o  
t  
r  
u  
l  
e  
c  
e



UNISO

Certificamos que *Profa. Denise Grotto*  
*(Presidente da Banca e Orientadora), Profa. Marta*  
*Maria Duarte Carvalho Vila e Sara Rosicler Vieira*  
*Spim* participaram como examinadoras na Banca de  
Avaliação Final do trabalho de Prática de Pesquisa  
III do (a) aluno (a) *Débora Marine Ramos*  
intitulado: “**ANÁLISE DO TEOR DE SÓDIO E  
FIBRA ALIMENTAR EM RÓTULOS DE  
PRODUTOS INDUSTRIALIZADOS  
DESTINADOS A LACTENTES E CRIANÇAS DE  
PRIMEIRA INFÂNCIA**” ocorrida no dia 28 de  
outubro de 2014, no curso de Farmácia da  
Universidade de Sorocaba.

Curso de Farmácia  
Certificado registrado eletronicamente



Sorocaba, 28 de outubro de 2014

*Prof. M. Magali Glauzer Silva  
Coordenadora do Curso de Farmácia*

Certificado



*Certificamos que Profa. Marta Maria Duarte Carvalho Vila (Presidente da Banca e Orientadora), Profas. Denise Grotto e Sara Rosicler Vieira Spim participaram como examinadoras na Banca de Avaliação Final do trabalho de Prática de Pesquisa III dos (as) alunos (as) Maria Teresa de Carvalho e Ruchelli Cesar Coan intitulado: "TEOR DE SÓDIO EM ALIMENTOS LIGHT, DIET E CONVENCIONAIS" ocorrida no dia 28 de outubro de 2014, no curso de Farmácia da Universidade de Sorocaba.*

Curso de Farmácia  
Certificado registrado eletronicamente



Sorocaba, 28 de outubro de 2014

A handwritten signature in cursive script, which appears to read 'Magali Glauzer Silva'.

Prof. M. Magali Glauzer Silva  
Coordenadora do Curso de Farmácia

**ANEXO I – Orientação e monitoramento em laboratório de alunos de Graduação em Nutrição.**



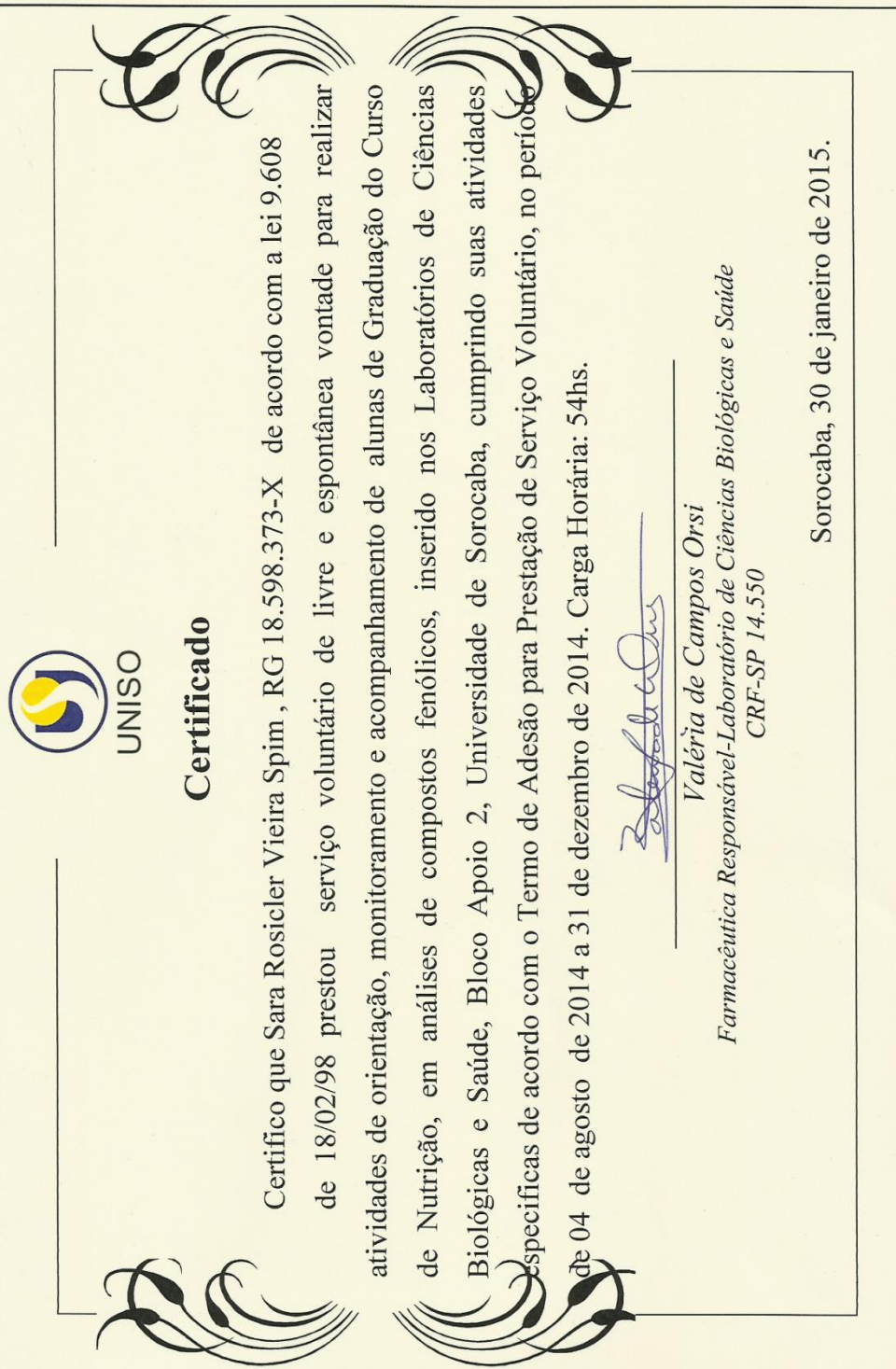
**Certificado**

Certifico que Sara Rosicler Vieira Spim, RG 18.598.373-X de acordo com a lei 9.608 de 18/02/98 prestou serviço voluntário de livre e espontânea vontade para realizar atividades de Orientação, monitoramento e acompanhamento de alunas de Graduação do Curso de Nutrição, em análises de compostos fenólicos, inserido nos Laboratórios de Ciências Biológicas e Saúde, Bloco Apoio 2, Universidade de Sorocaba, cumprindo suas atividades específicas de acordo com o Termo de Adesão para Prestação de Serviço Voluntário, no período de 01 de abril de 2014 a 31 de julho de 2014. Carga Horária: 46h.

A handwritten signature in blue ink, which appears to read "Valéria de Campos Orsi".

\_\_\_\_\_  
Valéria de Campos Orsi  
Farmacêutica Responsável-Laboratório de Ciências Biológicas e Saúde  
CRF-SP 14.550

Sorocaba, 01 de agosto de 2014



**ANEXO J – Membro da Organização do VIII Simpósio Internacional sobre Cogumelos no Brasil.**



**ANEXO K – Estágio de docência.****Universidade de Sorocaba**

Ofício PROAC nº 057/2015

Sorocaba, 21 de outubro de 2015.

**DECLARAÇÃO**

A Universidade de Sorocaba declara para os devidos fins a discente **Sara Rosicler Vieira Spim**, CPF 109.859.368-51, RG 18.598.373-X, bolsista do Programa de Suporte à Pós-Graduação de Instituições de Ensino Particulares (PROSUP/CAPES), realizou estágio docência nesta Instituição, no componente curricular de Farmacologia Básica, nos cursos de Nutrição, Enfermagem e Farmácia, totalizando uma carga horária de 80 horas.

O referido estágio foi realizado sob orientação da Profa. Dra. Denise Grotto, docente do Programa de Pós-Graduação em Ciências Farmacêuticas da Uniso, e envolveu as seguintes atividades:

- a) acompanhamento aulas expositivas (elaboração e apresentação);
- b) acompanhamento da elaboração de seminários de estudos dirigidos (seleção de artigos e elaboração de modelo de avaliação);
- c) acompanhamento e elaboração de avaliações teóricas;
- d) auxílio no atendimento aos alunos nas dúvidas sobre os conteúdos apresentados;
- e) Conferência de palestra sobre o tema “Interação Medicamentosa Entre Medicamentos e Alimentos”;



**Prof. Dr. José Martins de Oliveira Jr.**  
Pró-Reitor Acadêmico